

40 006

T.C.

EGE ÜNİVERSİTESİ TIP FAKÜLTESİ
RADYODİAGNOSTİK ANABİLİM DALI

Prof. Dr. Hadi ÖZER

**FONKSİYONEL ENDOSkopİK SİNUS CERRAHİSİNDE
OSTİOMEATAL KOMPLEKS ANATOMİSİNİN
PREOPERATİF GÖRÜNTÜLEMESİ**

UZMANLIK TEZİ

Dr. Rahmi AKYOL

TEZ YÖNETİCİSİ

Doç. Dr. Remide ARKUN

İZMİR-1994

İÇİNDEKİLER

GİRİŞ	1
GENEL BİLGİLER.....	3
1. Normal Anatomi.....	3
2. Anatomik Varyasyonlar	20
3. Mukosilier Sistem Fizyolojisi	23
4. Normal BT Anatomi	25
5. Endoskopik Sinüs Cerrahisi Prensibleri	31
GEREÇ ve YÖNTEM	36
OLGULAR ve BULGULAR.....	39
TARTIŞMA.....	50
SONUÇ	62
KAYNAKLAR.....	63

GİRİŞ

Endoskopik sinüs cerrahisi Messerklinger ve Wigand'ın intranasal endoskopun avantajlarını ve cerrahi kullanımını tanımlamalarından bu güne popüleritesi gittikçe artan bir yöntem halini almıştır (19,31).

Paranasal sinüs yangısal hastalıklarında kullanılan standart cerrahi tekniklerin yeterince etkin olmadığı yaklaşık yüzyıldır bilinmektedir. Endoskopik sinüs cerrahisinin son yıllarda popüler bir uğraş olmasından sonra bu tekniklerin çoğu şimdi daha radikal yöntemler olarak kabul görmektedir(9).

Sinonasal yangısal hastalığın görüntülemesindeki değişiklikler kronik sinüsitin tedavisindeki gelişimlere paralellik göstermiştir (33).

Klasik transbuccal maxillorhinostomy ilk defa 1893'te George Caldwell ve 1897'de Henry Luc tarafından tanımlandı. Maksiller sinüzitin tedavisinde yıllarca kullanılan Caldwell-Luc operasyonu, günümüzde kronik hiperplastik rhinosinüzit tedavisi için nadiren intranasal antrostomiye ya da ostiomeatal kompleksin endoskopik dekompreşyonuna yanıt vermeyen olgularda ve maksiller sinüs tümörlerinin çıkarılmasında kullanılmaktadır(19). Kronik hiperplastik rhinosinüzit tedavisinde kullanılmış olan transantral ethmoidectomy, external frontoethmoidectomy ve standart intranasal sphenoethmoidectomy gibi tekniklerin yerini endoskopik sinüs cerrahisi almıştır. Fonksiyonel endoskopik sinüs cerrahisi uygulayıcıları kronik hiperplastik nasal ve paranasal sinüs hastalıklarının tedavisinde konservatif cerrahi yaklaşımları önermektedirler. Bu araştırmacılar sinüs mukozası kürete edilmeden ostiomeatal kompleksin mekanik temizliğine yardımcı olan daha sınırlı girişimlerin kronik sinonasal hastlığı kontrol etmede etkili bir yöntem olabileceğini belirtmektedirler(11).

Anterior ethmoidal hava hücreleri ve orta meatus çoğu yangısal sinüs hastlığında erken tutulum yerleri olarak önemli bir role sahiptir (11).

Messerklinger olguların büyük çoğunluğunda anterior ethmoidal ve orta meatus bölgelerinden başlayan enfeksiyonun sekonder olarak maksiller ve frontal sinüsleri etkilediğini göstermiştir (20,21).

Frontal ve maksiller sinüslerdeki ciddi mukozal hastalığın, ethmoid hastalık tedavi edilir, normal ventilasyon sağlanır ve orta meatus normal mukosilier aktivitesini kazanırsa genellikle iyileştiği görülür (9). Ostiomeatal kompleks isimlendirilmesi ilk kez H. Naumann tarafından anterior ethmoidal hücreler ve orta meatusun kompleks anatomik yapısını tanımlama da kullanılmıştır(9).

Endoskopik sinüs cerrahisi kavramı Hilding, Proctor ve Messerklinger'in mukosilier aktivite, paranasal sinüslerde hava akımı üzerinde yaptıkları çalışmalar ve sinüs mukozasını korumada drenajın önemini göstermeleriyle gelişmiştir(13). Endoskopik sinüs cerrahisinin dayandığı temel hipotez, kronik sinüs hastlığında ostiomeatal kompleksin patogenezde anahtar bölge olduğunu (7,11,21,32). Ostiomeatal kompleks yakınındaki minör mukozal değişiklikler maksiller, frontal ve ethmoid sinüslerin ventilasyonuna veya mukosilier temizlik işlevlerine engel olabilir. Fonksiyonel endoskopik sinüs cerrahisinde temel prensip sinüs mukozasının ostiomeatal kompleksdeki mukozal patolojiyi ortadan kaldırarak ve yeterli drenajı sağlayarak normale dönmesini sağlamaktır(11,23).

Bu çalışma kapsamında fonksiyonel endoskopik sinüs cerrahisine yönelik nasal kavite ve paranasal sinüs anatomsisini irdelemek, kronik veya yineleyen sinüzit olgularında predispozisyon yaratan anatomik varyasyon ve mukozal anormallik sıklığını saptamak, yeni sayılabilecek bu cerrahi uygulamalarda olası potansiyel komplikasyonlardan korunmak için radyoloğun rolünü belirlemek amaçlanmıştır.

GENEL BİLGİLER

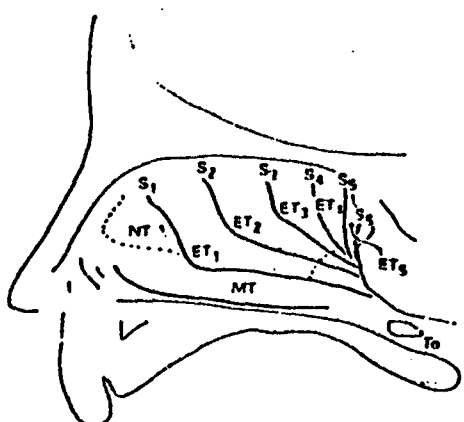
1. NORMAL ANATOMİ

Paranasal sinüslerin boyutları farklı bireyler ve yaşlarda değişiktir.

Doğumda görülmeyen veya rudimentedirler. Genellikle 6 yaş civarında belirgin olarak görülmeye başlarlar. En erken gelişmeye başlayan major sinüs maksiller sinüstür. Doğumdan hemen sonra pnömotize olur ve yaklaşık ikinci yaşta infraorbital kanal komşuluğuna, 9 yaşında zigomatik kemik içine uzanır. Frontal sinüsler ise yaklaşık 2 yaşında ön ethmoid bölgeden pnömotize olmaya başlar ve 4 yaşında orbita üst sınırına erişir. 10 yaşına kadar frontal kemik içinde pnömotizasyon devam eder. Sfenoid sinüs doğumda yoktur. En geç 3 yaşında pnömotize olmaya başlar (18).

Lateral nasal duvar anatomisinin daha iyi anlaşılabilmesi için ethmoid ve konkaların embriyolojik gelişiminin bilinmesi gereklidir.

Ethmoid turbinateler fetüs lateral nasal duvarındaki kabarıklardan köken alır. 9-10. haftalarda lateral duvarda 6 tane major yarıklar gelişir. Bunlardan 3 veya 4'ü daha sonra birleşerek sayıları azalır (Şekil 1). Bu yarıklar ethmoturbinal (ET) adı verilen kabarıklar veya tümseklerle birbirinden ayrılmıştır (26).



Şekil 1: Fetüsde major turbinateler ve yarıklar

şematize edilmektedir. $ET_1-ET_5 = 1'den 5'e$

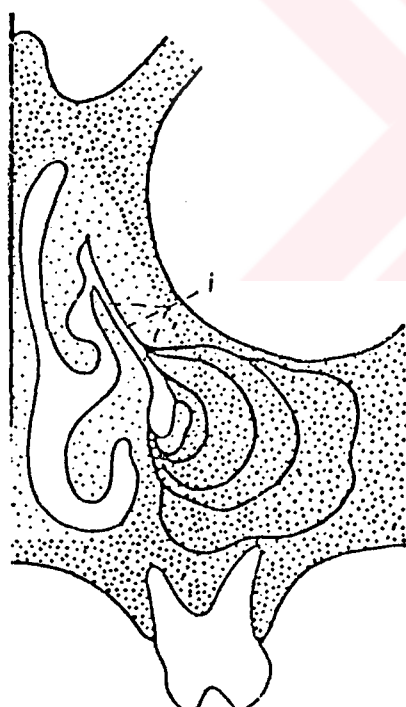
ethmoturbinaler, $MT =$ Maksilloturbinal,

$NT =$ Nasoturbinal, $S_1-S_6 =$ Major yarıklar

Ethmoturbinallerin ramus ascendens adı verilen ön-üst parçası ve ramus descendens adı verilen alt-arka yerleşimde daha horizontal konumlu parçaları vardır. Bu yanıklar ve tümsekler fetüsün gelişiminin devam etmesiyle aynı şekilde kalmazlar. Hemen tümü veya bazı parçaları birleşerek kaybolur ve sonunda erişkin nasal konkaları oluştur (26).

Alt konka ayrı bir kemiktir. Gelişiminde ethmoturbinallerin rolü yoktur. Bu nedenle, şemada alt konka maksilloturbinal olarak isimlendirilmiştir. İlk primer yarık (S_1) 1. ve 2. ethmoturbinaller arasında yer alır. ET_1 gelişiminin daha sonraki aşamalarında regrese olur. Unsinat prosesin 1. ethmoturbinalın descending parçasının artığı olduğuna inanılır. ET_1 'in ascending parçasının kalıntılarından agger nasi gelişecektir. Bu da embriyoda nasoturbinal olarak isimlendirilir. 1. primer yarığın descending parçasından ethmoidal infundibulum

gelişirken, süperiordaki ascending parça frontal reses gelişimine öncülük edecektir. Infundibulum maksiller kemik içine sürekli pnömotizasyonu maksiller sinüs formasyonunu sağlarken, frontal resesin frontal kemik içine doğru pnömotizasyonu frontal sinüsü oluşturacaktır (27). Maksiller sinüsünün gelişimi şekil 2'de gösterilmektedir. Embriyolojik gelişme maksiller sinüs ostiumunun niçin infundibulum tabanında lokalize olduğunu açıklamaktadır.



Şekil 2: Fetüs ve infantta maksiller sinüsün ethmoidal infundibulumdan gelişimi (Stammberger)

Anterior ethmoidal bölgede ilave yarıklar ve bunlarla uyumlu

tümsekler kendi içlerinde elevasyon ve depresyonlarla, sonuçda anterior ethmoidal ve infundibular hücreleri oluşturabilir. Eğer bunlar frontal sinüs ostiumu bölgesinde gelişirlerse (frontal reses hava hücreleri), onların endoskopik ayırımı çok güç ve bazı olgularda olanaksız olabilir. Sadece ethmoidal infundibulum ve frontal reses varlığında anterior ethmoid anatomi basittir ve bireyler arasında farklılık yoktur. Ancak embriyolojik olarak farklı derecelerde oluşan bu ilave elavasyon ve depresyonlar frontal reses hava hücreleri, infundibular hava hücreleri, bulla frontalis gibi anatomiyi komplike kıtan derin resesler ve septasyonlar oluşturur. Bu anatomik detayın girişim öncesinden bilinmesi gereklidir (26,27).

Orta konka 2. ethmoturbinalden, üst konka 3. ethmoturbinalden gelişir. 4. ve 5. ethmoturbinaller birleşirler ve eğer tümüyle regrese olmazlarsa varyasyon olarak kalıcı konka suprema adı verilen en üst konka oluşur (4. konka)(27).

Orta meatus ve hiatus semilunaris, ethmoid infundibulum gibi 1. primer yarığın descending kısmından gelişir. Üst meatus 2. yarıktan, suprema meatus 3. primer yarıktan orjin alır (27).

Gelişimsel açıdan bakıldığından, ethmoid medial duvarda beliren konka olarak bilinen kemik yapılar gerçekte sadece tüm ethmoidi kateden kemik lamellaların uçlarıdır. Bu kemik lameller lateralde orbita medial duvara, superiorda fovea ethmoidalis ve lamina cribrosa arasında uzanırlar (27).

Birinci yetersiz gelişmiş lamellayı unsinat proses temsil eder. Unsinat proses kafa kaidesine ve orta konkaya kadar uzanabilir, fakat şart değildir. Onun en üst segmenti sıkılıkla laterale döner ve lamina papyracea'ya uzanır (26).

2. lamella ise bulla lamelladır. Eğer bulla lamella intakt ve kafa kaidesine kadar uzanıyorsa, frontal resesi, daha arkada yerleşmiş anterior ethmoid

bölümlerinden ayırr. Eğer kapalı intakt bulla lamella öne doğru belirgin uzanırsa, frontal reses de belirgin darlık oluşturabilir. Anlaşıldığı üzere bulla lamellanın frontal resesin şekli üzerinde kesin etkisi vardır. Bulla lamellanın pnömotizasyonuyla erişkinde tanımlanan ethmoid bulla formasyonu oluşur (26).

3. lamellaya ground ya da basal lamella ismi verilir. En sabit bütünlüğü korunan lamella formasyonudur. Orta konkanın basal lamellası olarak bilinir. Ethmoid labirinti ön ve arka parçalara ayırr (26).

4. lamella üst konkanın yapışmasıyla oluşturulur. Bu basal lamellalar arasındaki pasajlar interturbinal meatus olarak tanımlanır (26).

İnterturbinal meatusda çok veya az gelişmiş transvers septalar ethmoid labirentin daha küçük bölmelere ayrılmasına neden olur. Interturbinal meatusu bölen kemik septalar, nasal kavite ile küçük bir ostiumla bağlı hücreler ya da kaviteler oluştururlar. Interturbinate meatus içindeki septa gelişiminin sayısına bağlı olarak ethmoid hücrelerin sayısı ve büyülüklükleri de değişken olur. Nadir olgularda hiç septa oluşmaz ve ethmoid labirent interturbinal meatus orjinal konfigürasyonu ile tek bir hücreden oluşur (26,27).

Lateral Nasal Duvar

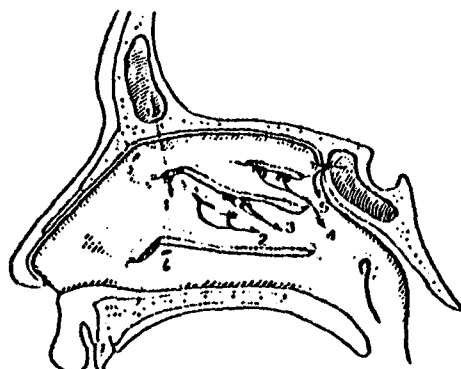
Her bir nasal kavitenin lateral duvarı önde nasal kemik, maksillanın frontal prosesi ve lakkral kemiği kapsar(Resim 1). Lakkral kemiğin arkasında lateral nasal duvar ethmoid labirent, maksilla ve alt konkadan oluşur. Lateral nasal duvarın en arka bölmeleri palatin kemiğin perpendiküler laminası ve sfenoid kemiğin medial pterygoid laminası tarafından oluşturulur. Labirentin medial yüzeyi lateral duvarın önemli bir parçasıdır. Nasal kavite içinde, lateral duvardaki kemik çıkışları ve konkalar mediale doğru uzanarak nasal pasajı hava geçiş kanallarına yani meatuslara böllerler (29,34). Üst ve orta konka



Resim 1: Lateral nasal duvarın anatomisi. Orta konka kaldırılmıştır. Unsinat prosesin ön alt kenarı koyu uzun oklarla, arka üst kenarı açık oklarla gösterilmiştir. Unsinat proses alt konkanın ethmoidal çıkışmasına (beyaz ok) yapışmaktadır. Unsinat prosesin serbest arka üst kenarı ile ethmoid büssün (B) konveks ön yüzü arasındaki pasaj (kesikli çizgiler) hiatus semilunaris'dir. MH=Maksiller hiatus, Siyah kıvrık oklar= Sfenopalatin foramen.

ethmoid kemiğin parçalarıdır. Alt konka ise ayrı bir çift kemiktir. Tüm meatuslar aynı isimle anılan konkaların lateralinde ve altında yer alan hava akım alanlarıdır. Nasal kavitenin bu girintili, çıkışlı yapısı inspire edilen havanın ısıtılması ve nemlendirilmesi için gerekli mukozal teması arttırmaktadır(34).

Sfenoid sinüs ostiumu sfenoidal sinüsün anterosuperior parçasında lokalizedir. Sfenoidal sinüs ve arka ethmoid hücreler sfenoethmoidal reses ve superior meatusa drene olurlar. Sfenoethmoidal reses üst konkanın arkasında yer alır. Orta meatus çeşitli ostialar aracılığıyla ön ethmoid hücrelerle, frontal ve maksiller sinüslerle bağlantılıdır(19). Drenaj yönleri şekil 3'te şematize edilmektedir.



Şekil 3: Konkalar çıkarıldıkten sonra lateral nasal duvarda sinüslerin drenaj yönleri. 1= Frontal sinüsden drenaj, 2= Maksiller sinüsden drenaj, 3= Ön ve orta ethmoidlerden drenaj, 4= Arka ethmoidlerin drenajı, 5= Sfenoid sinüsünden drenajı, 6= Nasolakrimal kanalın drenajı. 1,2 ve 3 orta meatusa, 4 ve 5 sfenoethmoid reses içerisindeki üst meatusa drene olmaktadır (12).

Ethmoid Kemik

Ethmoid kemik kolay kırılabilir, kompleks bir yapıdır. Frontal, sfenoid, nasal, lakrimal ve palatin kemikler; maksilla, alt konka ve vomer olmak üzere 13 farklı kemikle eklem yapar(29,34). Ethmoid kemik 4 parçadan oluşmuştur. Bunlar horizontal lamina (lamina kribriformis), perpendiküler lamina ve labirent olarak isimlendirilen iki lateral gövdedir. Her bir ethmoidal labirent ince duvarlı, oldukça değişken ön, orta ve arka olmak üzere üç gruba ayrılan hava hücrelerinden oluşmuştur. Ön ve orta ethmoid hücreleri çoğu anatomist ve otolaringolog tarafından ön ethmoid hücreler olarak tek grupta incelenir (14). Bu hava hücreleri sadece kendi doğal ostiumları aracılığıyla nasal kaviteyle bağlantılıdırlar. Bazı hava hücreleri tümüyle ethmoid kemik tarafından kapsanmaz. Bunlara ekstramural hava hücreleri denir. Başka bir deyişle ethmoid kemik mukoza ile döşeli hava hücreleri tarafından yukarıya frontal kemiğe, öne maksiller ve lakrimal kemiğe, arkaya sfenoid ve palatin kemiklere doğru perfor edilebilir. Lamina papyracea orta ve arka ethmoid hücreleri lateralden örter. En önde yerleşen intramural ethmoid hücreler frontal reses hava hücreleridir. Anteriosuperior doğrultuda frontal kemiğin içine doğru uzanabilirler. Supraorbital frontoethmoidal hava hücreleri gibi frontal sinüslerde bu hücrelerden köken alır (23). Frontal reses hücrelerinin önünde yer alan grup infundibuler hava hücreleridir. Bunlardan kaynaklanan ekstramural hücre grubuya agger nasi hücreleridir(Resim 2 ve 3). Lakrimal ve maksiller kemiğin frontal prosesinin aerasyonuyla oluşur (4,23). Posterior ethmoidal hücreler sfenoid, palatine veya maksiller kemiklerin içlerine doğru ilerleyebilir(23).

Lamina kribriformis 2-3 mm genişliğinde olup, olfaktor sinir liflerinin geçişine izin veren 20 kadar foraminası vardır. Nasal kavitenin tavanı önde lamina kribriformis tarafından; arkada sfenoid kemik, vomerin kanatları ve palatin kemiğin sfenoid çıkışlığı tarafından oluşturulur. Nasal kavitenin tabanı

ise maksiller kemiklerin palatin çıkıntısı ve palatin kemiklerin horizontal laminalarından oluşmuştur. Lamina perpendicularis nasal septumun üst kemik kısımlarını yapar. Nasal septumun kemik posteroinferior kısımlarını vomer oluşturur. Nasal septum arkada sfenoid gövdesine, önde her iki nasal kemiğe ve frontal kemiğe tutunur (14,15).

Resim 2: Osteomeatal kompleksin kadavrada sagittal anatomisi. Sagittal BT kesitinde frontal reses hava hücreleri (1), infundibuler hava hücreleri (2) görülmektedir. Ethmoid bulla (B) frontal reses hava hücresinin arkasında lokalizedir. Unsinat proses uzun oklarla gösterilmektedir. Sfenoid sinüs ostiumu (kıvrık ok) sfenoethmoid reses (kısa ok) içine açılmaktadır. Ok ucu frontal resesi göstermektedir. (16)



Resim 3: Kadavrada ostiomeatal kompleks Agger nasi hücresi (A), Ethmoidal bulla (B), posterior ethmoidal hücresi (P) ve sfenoidal sinüs (S) ile gösterilmektedir. Sfenoid sinüs ostiumu (küçük kıvrık ok) sfenoethmoid resese açılmaktadır. Orta konka (içi boş düz oklar), orta meatus (beyaz bulruk kıvrık ok), unsinat proses (ok ucu) izlenmektedir. Infundibulum (kesikli çizgi) unsinat prosesin üstünde, bullanın altında eğimli bir pasajdır. Bullanın önünde içi boş kıvrık okla ön ethmoid hücrelerin intramural grubunu yapan frontal reses hava hücresi gösterilmektedir. Frontal reses (uzun ok) infundibulumun ön üst parçasına açılmaktadır. (13).



Frontal Reses

Frontal sinüslerin kendi uyumlu orta meatusları ile bağlantılısı sağlayan frontal resesin isimlendirilmesi ve tanımlanması konusunda literatürde karışıklıklar vardır. Frontal reses 1. primer interturbinal yarığın assending parçasının yukarıya doğru uzantısından köken alır. 1. primer yarığın descending parçasından da bilindiği gibi ethmoid infundibulum gelişir. Bu nedenle anterior ethmoidin frontal resesi isimlendirmesi bu iki yapı arasındaki embriyolojik topografik anatomiyi en iyi tanımlar. Frontal sinüs yaklaşık 2 yaşından sonra frontal resesin frontal kemik içine doğru pnömotizasyonunun oluşmasıyla gelişmeye başlar. Literatürde frontal resesin diğer isimleri "frontal sinüsün nasal parçası", "frontal infundibulum" ve sık kullanılan "nasofrontal duktus"tur (15,16,26).

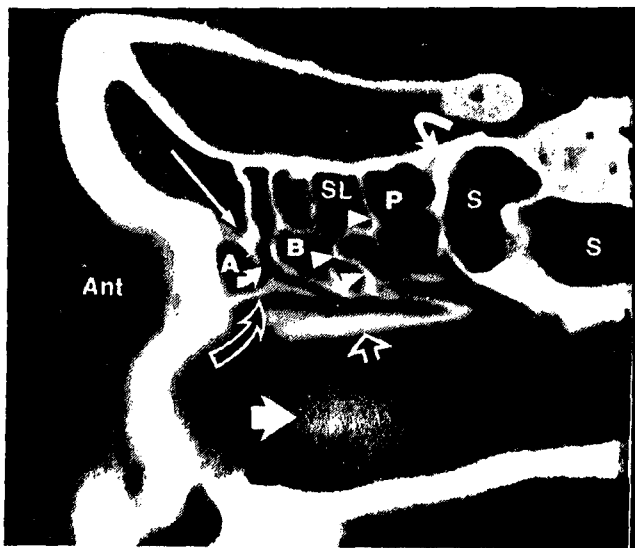
Nasofrontal duktus deyimi tubüler kemik yapıyı telkin ederse de tam bir duktus görüntüsü yoktur. Sagittal kesitte frontal sinüsden anterior ethmoide geçiş zonu incelenirse, frontal sinüs tabanında ve medialde giderek daralan ve dar ucu ostiuma işaret eden tünel şeklinde yapı gözlenir. Ostiumun altında, ethmoid bölge içinde ostiumdan uzaklaşıkça genişleyen bir başka tünel şeklinde yapı izlenir. Bunun da en dar noktası frontal ostiuma doğrudur. Kısaca sagittal kesitte kum saatine benzer ve en dar yeri frontal sinus ostiumunu belirleyen yapı mevcuttur. Kum saatinin ostiumun altında kalan parçası frontal reses olarak tanımlanır(Resim 4). Onun sınırları, şekli ve genişliği büyük ölçüde komşu diğer anatomik yapılar tarafından belirlenir (26)(Resim 3,4 ve 5).

Frontal resesin medial sınırı hemen daima orta konkanın en ön bölümünün lateral yüzeyidir. Sadece unsinat proses belirgin derecede mediale kıvrık ve orta konka yapışma yeriyle birleşik olduğunda, unsinat prosesin en ön-üst parçası frontal reses medial duvarının bir parçasının yapısına katkıda bulunabilir (26).

(Resim 3,4 ve 5)

Resim 4: Agger nasi hücresi (A), ethmoidal bulla (B), lateral sinüs (SL) ve sfenoid sinüs gösterilmektedir. Basal lamella ok uçları posterior ethmoidi lateral sinüs ve ethmoid bulladan ayırmaktadır. Frontal sinüs frontal ostium aracılığıyla frontal resese (düz uzun ok) açılmaktadır. Unsinat proses (İçi boş kıvrık ok), orta konka (İçi boş düz ok) ve alt konkanın parsiyel volüm averajı (kısa düz ok) görülmektedir. Agger nasi ethmoid infundibulum açılmaktadır. Optik kanalın arka ethmoidlerle komşuluğu uzun kıvrık okla gösterilmektedir.

(13)



Lamina papyracea frontal reses lateral duvarının büyük kısmını yapar.

Eğer ethmoid infundibulumun bir terminal resesi varsa unsinat proses, frontal resesin lateral duvarının bir parçasını sınırlar ve en ön bölümün de frontal resesin tabanın oluşmasına katkıda bulunur. Frontal resesin tavanı frontal kemiğin ethmoid çatayı örten parçalarından yani ethmoidal fovealislerle oluşturulur (26).

Frontal ostium genellikle frontal resesin en üst-ön parçasında yer alır. Frontal resesin arka duvari, eğer ethmoidal bullanın graund lamellası ethmoid çatıya doğru tüm genişliği boyunca yükseliyorsa tek bir yapıyla sınırlanır. Bu durumda ethmoid bullanın graund lamellası frontal resesi eğer varsa lateral sinüsden ayıracaktır. Bulla lamella sıklıkla imkomplet bir yapıdır ve ethmoid çatıya kadar ya hiç ulaşmaz ya da bazı dalları uzanır. Bu durumda da frontal reses ethmoid bullanın üstüne nadiren arkasına doğru geniş bir bağlantıyla devam eder. Ethmoid bulla üzerindeki bu mesafeye lateral sinüs adı verilir(15,26). Bazı rudimenter frontal tümseklerden frontal reses içinde daha küçük veya daha büyük çoğunlukla transvers kemik septumlar ve hücreler gelişir. Bunlara frontal reses hava hücreleri denir(Resim 2, 3 ve 5). Bunlar

frontal planda ethmoid çatıdan aşağı doğru uzanabilir ve frontal resesin posterior duvarını yapabilirler (13,16,26).

Resim 5: Koronal planda frontal reses ve ön ethmoid hücreler görülmektedir. Kalın siyah oklar sol tarafta frontal sinüs ostiumu bölgesinde kum saat konfigürasyonunu gösteriyor. fr=frontal reses, 1= frontal sinüs, ok ucu= infundibuler hava hücresi, ince ok= frontal reses hava hücresi.

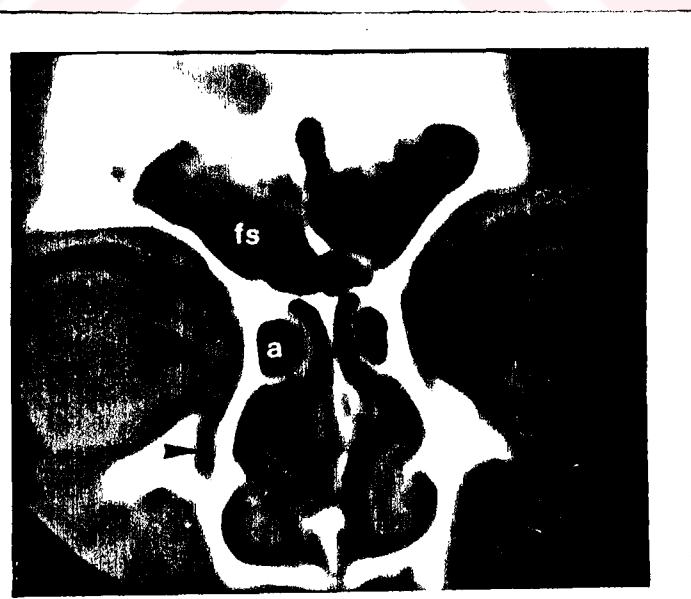


Unsinat prosesin pozisyonuna bağlı olarak, frontal reses unsinat prosesin medialinden doğrudan orta meatusa veya ethmoidal infundibulum içine açılır. Ethmoid infundibulum içine açılma tüm kraniumların %50'den fazlasında görülür ve bu alanın embriyolojik gelişimine de uygundur (26).

Bulla lamellanın durumu frontal resesin konfigürasyonunu büyük ölçüde belirleyebilir. Eğer bulla iyi gelişmişse ve öne doğru uzanıyorsa, frontal resesi daraltacaktır. Ek olarak agger nasi'nın belirgin pnömotizasyonu da söz konusuysa ve gene frontal reses hava hücreleri iyi gelişmişse, frontal reses oldukça dar bir pasaj veya tubuler bir lümen olarak daraltılacaktır. Bu durumda "nasofrontal duktus" terimi kullanılabilir. Böyle bir tübüler konfigürasyon varlığında bile, hatırlanmalıdır ki, bu bağımsız bir tübüler kemik kanal değil, diğer bağımsız kemik yapıları arasında kalan bir resesdir (26).

Agger Nasi Hücreleri

Orta konkanın ön-üst yapışma yerinin ve frontal resesin önü agger nasidır (14,17). Maksillanın frontal prosesinin oluşturduğu bu kemiksi belirginlik eğer pnömatize olursa bu hücreler agger nasi hücreleri olarak anılır(Resim 4,6). Agger nasi hücreleri lateral nasal duvarda yer alan ekstramural hücrelerin en önde yer alan grubudurlar. Bu hücreler lakovral kemiğe maksillanın assenden prosesine uzanabilir. Daha kesin bir deyişle agger nasi hücreleri orta konka ön ucunun anteriorunda ve lateral nasal duvarda yer alır. Pratikte bununla beraber infundibuler hava hücreleri bile lakovral kemiğe ve maksillanın frontal prosesine uzanabilir ve agger nasi hücresi olarak adlandırılabilir. Bu hücreler ethmoid infundibulumu drene olurlar. Frontal resese komşu bir kaçının bu alana açılması da mümkündür. Frontal resese yakın komşuluklarından dolayı bir kaçının açılması frontal resese girebilmek için yeterlidir. Bu özellikleri agger nasi hücrelerini harika anatomik belirleyiciler kılar. Büyük agger nasi hücreleri frontal resesi daraltabilir. Fonksiyonel endoskopik cerrahi uygulamalarında en sık çıkartılan hücrelerdir (17).



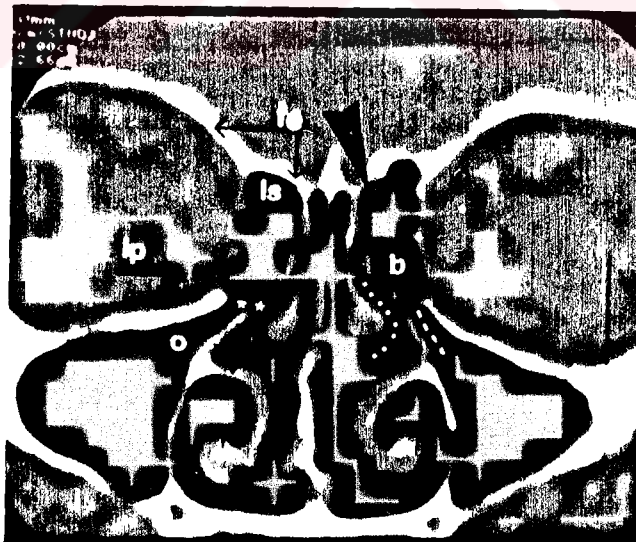
Resim 6: Agger nasi hücresi.

Orta konkalar henüz kesit planına girmemiştir. Orta konka ön üst uçlarının yapışma yerinin hemen önünde iyi gelişmiş agger nasi hücreleri (a), izlenmektedir. fs=frontal sinüs, ok ucu=nasolakrimal kanal.

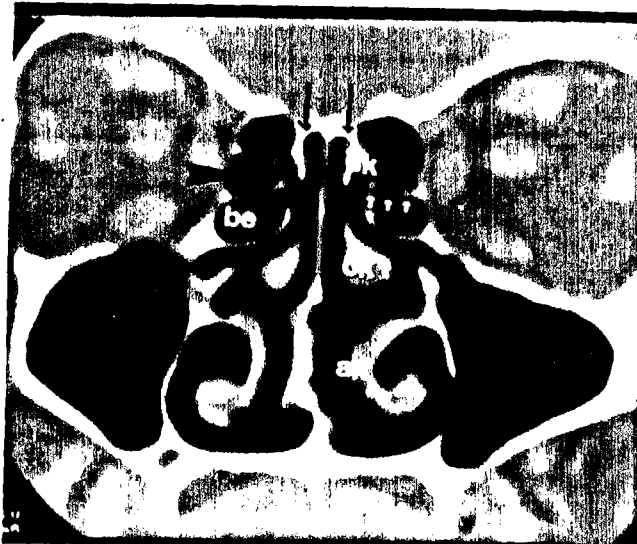
Ostiomeatal Kompleks

Ostiomeatal kompleks veya ünite ilk kez otolaringologlar tarafından ortaya atılan maksiller sinüs ostiumu, ethmoid infundibulum ve orta meatusu içine alan, maksiller, frontal ve ön ethmoid sinüslerin mukosilier temizlik ve aerasyonunu sağlayan normal havalandırma kanallar bütünüdür (35,36). Ostiomeatal kompleks diğer otörler tarafından orta ve alt konkalar arasında kalan frontal, maksiller ve ethmoidal sinüslerin drenajının gerçekleştiği alan olarak tanımlanmaktadır (28)(Resim 2, 3, 4, 7 ve 8). Bu terim bununla birlikte sıklıkla maksiller sinüs ostiumu, ön ve orta ethmoid hücrelerin ostiumları, frontal reses, ethmoidal infundibulum, orta meatus ve hatta sfenoethmoid reses ve superior meatusuda içine alan sahaları tanımlamak için kullanılır (15). Ostiomeatal kompleksin bazı kesimlerinde iki mukozal yüzey birbirile temas haline geçerse mukosilier aktivite lokal olarak bozulur. Sekresyonlar atılamaz ve ostial kapanma oluşmasa bile enfeksiyonlar için potansiyel tehlike oluşur (28).

Resim 7: Ostiomeatal kompleksten geçen koronal BT kesitinde ethmoid infundibulum (kesikli çizgi) unsınat prosesin (küçük siyah ok ucu) superiorunda, bulla ethmoidalisin (b) altında lokalizedir. Hiatus semilunaris (+) ethmoid infundibulum orta meatusa (noktalı çizgi) bağlayan pasajdır. Ethmoid bullanın lateral duvarı lamina papyrcae'dir(lp). Ethmoid bullanın üzerindeki mesafe lateral sinüstür(sl). Ethmoid tavan (siyah ok işaretli) frontal kemiğin fovea ethmoidalis ile kapatılmaktadır. Olfaktor fossanın lateral duvarını kribriiform laminanın lateral vertikal laminası (büyük siyah ok ucu) yapmaktadır.



Resim 8: Ostiomeatal kompleks koronal anatomisi. Ethmoid bulla 1/3 arka bölümünden geçen koronal BT kesitinde unsinat proses (u), orta konkanın basal lamellasi (beyaz oklar), üst, orta ve alt konkalar gösteriliyor. Basal lamellanın üstündeki arka ethmoid hücresi siyah ok ile, lamina kribriformisin olfaktor fossanın tabanını yapan horizontal laminası siyah oklarla gösterilmiştir. be=bulla ethmoidalis, s=septum nasi.



Unsinat Proses

Orta konka rezeke edildikten sonra lateral nasal duvara medialden bakıldığından iki ayrı kemik yapı görülebilir. Bunlar unsinat proses ve ethmoidal bulladır. Unsinat proses ethmoidal labirentin medial yüzeyinden kaynaklanan, lateral duvarın yapısına katkıda bulunan ince kavisli bir kemik laminadır. Önden ve yukarıdan, aşağı ve arkaya doğru uzanan bu yapının yüksekliği 1-4 mm, uzunluğu 14-22 mm arasında değişir. Unsinat prosesin posterosuperior kenarı serbesttir. Bu kenar keskin ve konkav olup, ethmoidal bullanın hemen altında ve ona paralel seyreder(Resim 1). Unsinat prosesin arka ucu hiatus maksillarisı çaprazladıktan sonra palatin kemiğin perpendiküler laminası ve alt konkanın ethmoid çıkışlığıyla eklem yapar. Anterior konveks kenar lakovital kemiğe kadar uzanır ve lateral nasal duvarın yapısına katılır. Unsinat prosesin en ön-üst bölümü ise kafa kaidesine uzanabilir veya tamamı ya da bir parçası laterale dönerken lamina papyracea'ya yapışabilir. Desartiküle edilmiş bir kemikte, maksiller hiatus (Resim 1) oldukça büyük bir açıklıkken, canlıda komşu kemikler inferior konka ve maksiller çıkışlığı, ethmoidin unsinat prosesi, palatin

kemiğin perpendiküler laminasının ön parçası ile bu hiatusun genişliği büyük ölçüde daraltılmıştır. Ancak unsinat proses ile alt konka arasında daima dens konnektif doku ile örtülü fontalen olarak adlandırılan defektif alanlar vardır. Bunlar lateral nasal duvarın membranöz komponenti olarak da bilinirler (23,24,26,27).

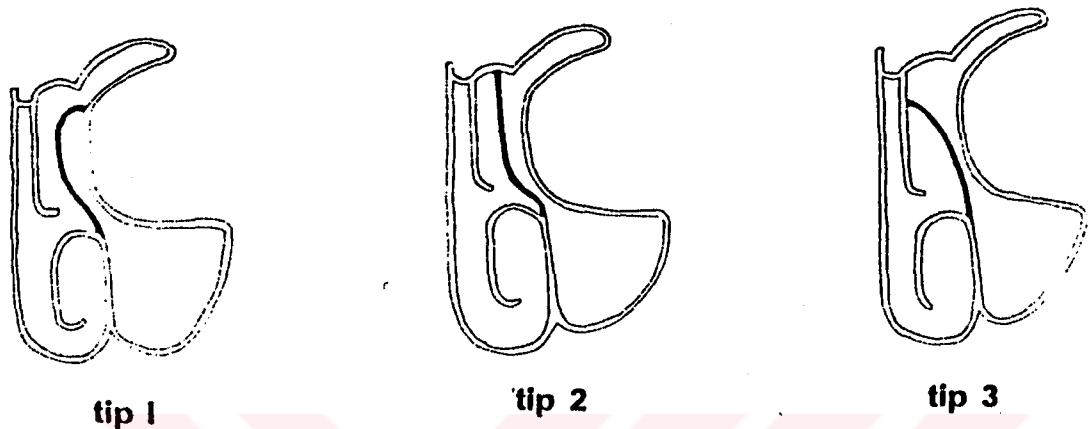
Ethmoid İnfundibulum

Ethmoid infundibulum, anterior ethmoidal bölgede burun lateral duvarda üç boyutlu, kavisli bir çukurdur(Resim 2,3,7 ve 8). Medial duvarını tüm uzunluğu boyunca unsinat proses yapar. Ethmoidal infundibulumun lateral duvarının büyük parçاسını lamina papyracea ve maksillanın frontal prosesi yapar. Nadir olgularda lateral duvarın onde ve yukarıda geriye kalan kesimleri lakkral kemikle sınırlanır. Unsinat prosesin ön kenarı bu kemiklerle akut ve keskin bir açıyla birleşir. Bu nedenle aksiyel kesitlerde ethmoid infundibulum onde akut bir açıyla sonlanır ve "V" şeklinde bir yapı olarak gözlenir (26).

Ethmoidal infundibulumu arkada büyük oranda ethmoid bullanın konveks ön kenarı sınırlar. Burada infundibulum hiatus semilunaris adı verilen açıklıktan orta meatus ile bağlantılıdır. Hiatus semilunaris ethmoid infundibulumu posteromedialden giriş kapısıdır. Maksiller sinüs ostium infundibulum tabanında orta veya 1/3 arka kesimde lokalizedir ve unsinat proses kaldırımadan endoskopla direkt olarak görülemez (26).

Ethmoid infundibulumun süperiordaki konfigürasyonu ise tümüyle unsinat prosesin yapısına bağlıdır. Eğer unsinat proses üst ucu, lateralde kıvrılarak lamina papyracea'ya yapışrsa, ethmoidal infundibulum yukarıda terminal reses olarak bilinen kör bir poş şeklinde sonlanır. Buna tip I unsinat proses denir. Bu durumda ethmoidal infundibulum ve frontal reses birbirinden ayrılmıştır. Frontal reses ethmoid infundibulumun medialinden orta meatusa

açılır. Unsinate prosesin en ön-üst ucu yukarı doğru yönelerek ethmoid çatıyla ve öne doğru incelerek uzayabilir. Hatta mediale doğru kıvrılarak orta konkaya birleşebilir. Bu son iki durumda (**tip 2 ve tip 3**) frontal reses ve frontal sinüs doğrudan ethmoidal infundibuluma açılır (**Şekil 4**)(26,27).



Şekil 4: *Unsinat proses üst ucunun seyir ve yapışma varyasyonları şematize edilmektedir.*

Ethmoidal infundibulumun genişliği normalde 5-6 mm'yi bulur. En fazla derin olduğu kısımlarda derinlik 12 mm'ye varır. Unsinat prosesin şekline bağlı olmak üzere ethmoid infundibulumun tüm uzunluğu 4 cm'e varabilir. Unsinat prosesin serbest kenarı ile lamina papyracea arası mesafe 1.5 mm'nin altında ise ethmoid infundibulumun sıkı olduğundan bahsedilir. Paradoks kıvrık orta konka, anlamlı konka büllosa gibi anatomič varyasyonlarının veya unsinat prosesi laterale doğru sıkıştırın lateral nasal duvar patolojilerinin varlığında ethmoidal infundibulum atelektatik olabilir (26).

Hiatus Semilunaris

Hiatus semilunaris terimi ilk kez 1880'de Zuckerkandl tarafından kullanılmıştır. Unsinat prosesin serbest arka kenar ile ethmoid bullanın ön yüzü arasındaki orak ya da yarı ay şeklindeki açıklıktır(Resim 1, 2, 3, 7 ve 8). İki boyutlu sagital oryante bu yarıktan ethmoid infundibuluma girilir. Frontal ve ön

ethmoid sinüslerin sekresyonları bu yolla maksiller ostiuma ulaşır. Bu nedenle Schaffer, maksiller sinüse enfeksiyonun frontal ve ethmoid sinüslerden geldiğini bildirmiştir(16,26).

Unsinat proses ve ethmoid bulla arasında klasik olarak bilinen hiatus semilunaris inferiordur. Grünwald ikinci bir hiatus semilunaris tanımlamış ve "hiatus semilunaris superior" olarak adlandırmıştır (26). Ethmoid bullanın üzerinde ve arkasında belirgin bir lateral sinüs varlığının da ethmoid bulla ile orta konka arasında bir yarık görülür. Hiatus semilunaris superior, turbinate sinus ile eğer varsa lateral sinüs arasındaki bağlantıyı sağlayan bir açıklıktır (26).

Ethmoidal Bulla ve Lateral Sinüs

Ethmoid bulla (Resim 2,3 ve 7) en sabit ve genellikle en büyük ön ethmoid hücresidir. Bulla lamellanın pnömotizasyonu ile oluşan bu hücreler lateral nasal duvarda yuvarlak bir şişlik oluştururlar. Nadiren ethmoid bulla total olarak yoktur veya çok az gelişmiştir. Suckerkandl ve Grünwald kendi serilerinde bu durumu %40 olarak belirtmektedirler (27). Stammberger'in opere ettiği olgularda minimal pnömotizasyon ya da pnömotizasyon olmayışı %8'dir (26).

Pnömotizasyonunun derecesine bağlı olarak, bulla orta meatusu bir balon gibi doldurabilir. Süperiorda bulla lamella frontal konumlu bir lamina gibi ethmoid çatıya kadar uzanabilir ve bu durumda frontal resesin arka duvarını yapar. Bu bölünme kalıntı tarzında veya hiç olmayıabilir. Bullanın ethmoid çatıya kadar uzanmaması durumunda, frontal resesle, bulla'nın üzerinde ve arkasında yer alan sinüs lateralis(Resim 7 ve 8) olarak bilinen mesafe arasında direkt bir bağlantı vardır (Frontal reses arka duvari yoktur). Lateral sinusun boyutlarını ve varlığını ethmoid bullanın pnömotizasyon derecesi belirler. Lateral sinüsün tabanını ethmoid bullanın tavanı yapar. Süperiorda lateral sinüsü ethmoid çatı

(fovea ethmoidalis) sınırlar. Sinüs lateralisin lateral duvarını lamina papyracea yapar. Medial'de ise orta konka bulunur. Dorsalde lateral sinus ethmoid bulla ve orta konkanın basal lamellası arasında arkaya ve aşağı doğru uzayabilir. Belirgin bulla lamella nedeniyle eğer sinus lateralis ve frontal reses arasında tam bir separasyon varsa lateral sinus hiatus semilunaris superior aracılığıyla orta meatusa açılır (13,16,26).

Orta Konkanın Basal Lamellası

Orta konka en ön-üst ucu agger nasinin medial duvarı ile unsinat proses üst ucunun lateral nasal duvara tutundukları yere yapışır (36). Süperiorda orta konka 1/3 ön bölümü lamina kribiformisin lateral ucuna tutunur. Bundan sonra orta konka yapışma hattı laterale ve inferiora döner ve frontal planda oryante olarak lamina papyracea'ya yapışır. Buraya orta konkanın basal lamellası denir(Resim 8) (4,34,35,36). Orta konkanın 1/3 arka bölümü ise horizontal planda posterior orta meatusun çatısını yapacak şekilde lamina papyracea'ya, maksilloethmoid laminaya ve palatin kemiğin perpendiküler laminasına tutunur. Orta konka posterior ucunun hemen arkasında sfenopalatin fossa vardır. Basal lamella posterior ethmoidleri diğerlerinden ayıran anatomik belirleyicidir. Enfeksiyonun posteriora yayılmasını yavaşlatır (4,34).

Maksiller Sinüs Ostiumu

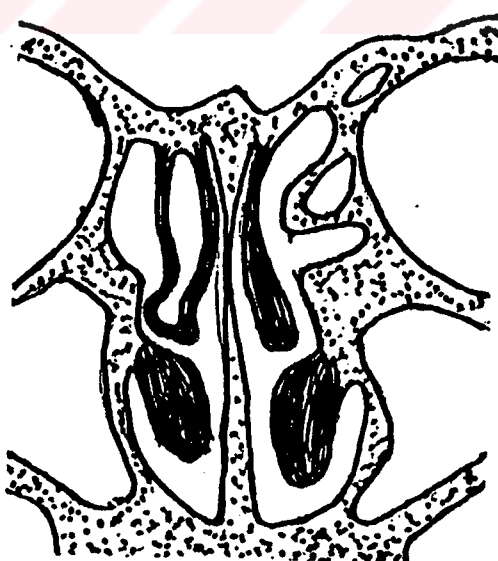
Maksiller sinüs medial duvarının üst kısmındadır. Ethmoid infundibulum tabanında ve posteriora açılır. Maksiller sinüsde mukosilier hareket tabanda başlar ve tüm duvarlar boyunca işinsal tarzdadır (26,34). Maksiller ostium unsinat proses çıkarılmadan endoskopik olarak görülemez. Unsinat prosesin posterior uzantısı ostiumun yerini gösterir. Hastaların %15-40'ında aksesuar ostium vardır. Aksesuar ostium sıkılıkla fontanel olarak adlandırılan membranöz

medial duvarda lokalizedir. Fontaneler maksiller sinüs medial duvarı boyunca hiatus maksillarisin mukoza ile kapatılması sonucu, arada kemik içermeyen, çift kat mukoza tabakasının oluşturduğu nasoantral duvarlardır. Unsinat prosesin inferiorunda ön ve arka olmak üzere iki fontanel vardır (4,16,35).

2. ANATOMİK VARYASYONLAR

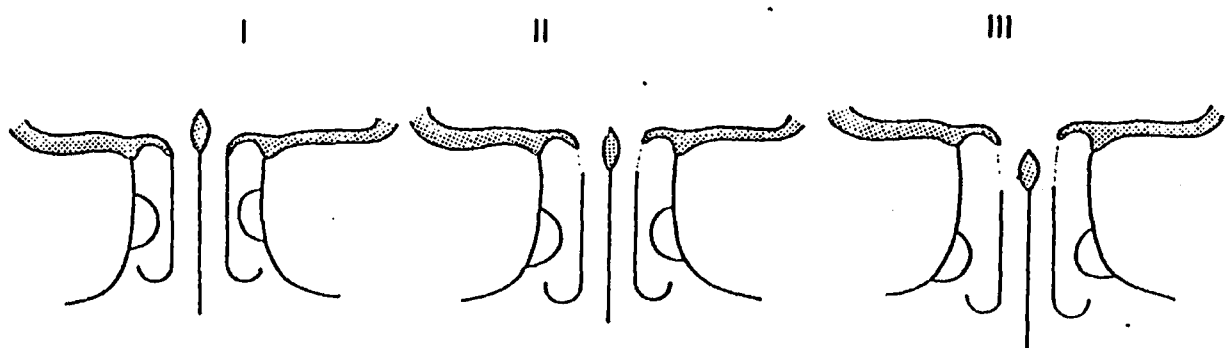
Görüntüleme raporunda belirtilmesi gereken kesin anatomik varyasyonlar şunlardır.

Konka büllosa: Orta konkanın pnömotize olması sık görülen bir varyasyondur(Şekil 5). Önemli olan varlığından ziyade orta meatus veya ethmoidal infundibulumda daraltıcı etkisinin olup olmadığıdır. Büyük bulla ethmoidalisler de orta meayı ya da infundibulumu daraltabilir. Ostiumunun obstrüksiyonu ostiomeatal hastalığa, akut inflamasyona ve mukosele neden olabilir. Endoskopik cerrahi ile konka büllosa tedavi edilirse orta konkanın normal fonksiyonu sağlanır. Bazı frontal resese açılan pnömotize krista galli izlenebilir. Drenajı tikanırsa krista galli mukoseli gelişebilir (16,26,37).



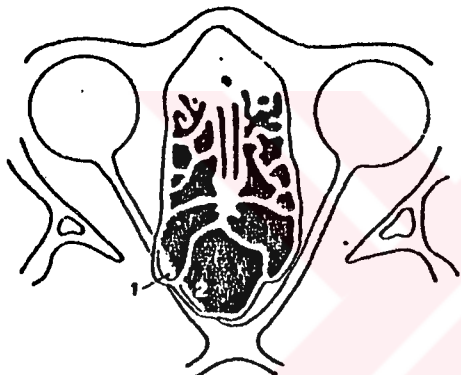
Şekil 5: Konka büllosa şematize edilmektedir.

Lamina kribriformis ve fovea ethmoidalisin düşük pozisyonu preoperatif cerrah tarafından bilinmediğinde potansiyel tehlike taşıyan önemli bir varyasyondur. Bu değerlendirme için ethmoid kemik çatısının anatomisi iyi bilinmelidir. Ethmoid kemik en azından 2/3 ön bölümde yukarıda açıktır. Bu açıklık frontal kemiğin fovea ethmoidalis ile kapatılır. Bu bölgede frontal kemik, komşu eklem yaptığı ethmoid yapılarına göre hem daha kalın hem de daha densedir. Bu farklılık medialde, fovea ethmoidalisden lamina kribrosaya geçiş noktasında en belirgindir. Lamina kribrosa iki parçadan oluşmuştur. Horizontal parçası olfaktor fossanın tabanını yapar. Lateralde bunun sonlandığı noktaya orta konkanın 1/3 ön bölümünü vertikal bir biçimde süperiorda tutunur. Bu noktadan sonra kribriform plate'in lateral vertikal laminaları gelir. Bu lateral vertikal lamina yukarıya doğru dönerek olfaktor fossanın yan duvarını yapar ve frontal kemiğin fovea ethmoidalis ile devam eder. Lateral vertikal lamina oldukça ince olup, frontal kemiğin ethmoidal foveasına göre 10 kez daha kolay kırılabilir bir yapıdır. Lateral vertikal laminanın uzunluğu kribriform plate ve olfaktor fossanın derinliğini belirler. Bu uzunluk 17 mm'yi aşıyorsa lamina kribriformisin düşük lokalizasyonundan bahsedilir (Şekil 6)(26). Ethmoid çatısının iki taraf arasında asimetrisi, olfaktor fossalar arasındaki derinlik ve genişlik farkları ve varsa kemik defektleri belirtilmelidir.



Şekil 6: Lamina kribriformisin düşük lokalizasyonu ve olfaktor fossanın farklı konfigürasyonları görülmektedir (26)

Optik sinir kanalının arka ethmoid hücreler veya sfenoid sinüs içine bombeleşmesi optik sinirinin zedelenme olasılığını artıran önemli bir gözlemdir. Sfenoid sinüsün üstünden arkaya ve laterale doğru uzanan arka ethmoid hücrelere Onodi hücreleri adı verilir. Aksiyel planda en iyi görülürler. Anterior klinoid çıkışının pnömotize olduğu olgularda bu hücreleri varlığı endoskopik cerrahide optik sinirde travma riskini artırmaktadır. Optik sinirin sfenoid sinüs ve posterior ethmoidlerle anatomik ilişkisi şekil 7'de gösterilmektedir.



Şekil 7: Bu şematik çizimde 1 numara ile optik sinirin onodi hücresi içine, 2 numara ile sfenoid sinüs içine bombeleşmesi görülmektedir(26).

Unsinat prosesin serbest arka-üst kenarı orta meayı daraltacak şekilde medialde orta konkaya doğru deviye olabilir veya daha önemlisi infundibulum belirgin düzeyde daraltacak şekilde laterale kıvrık olabilir (Atelektatik infundibulum). Belirgin lateral deviasyon veya orbita medial duvara füzyon unsinektomi sırasında orbita penetrasyonuna neden olabilir (15,16,34).

Haller hücreleri: Haller, Zinreich ve Stammberger'in tanımlarına göre, lamina papyrace'nin en alt kısmı ve ethmoid bulla'nın altında, maksiller sinus tavanın da infraorbital yerleşimli ethmoidal hava hücreleridir (6,16,35). Haller hücreleri yeterince büyüklerse veya enfekte olurlarsa ethmoid infundibulumu ve maksiller ostiumus daraltır (12,26).

Düzenleme
Diğer anatomik varyasyonlar nasal septum deviasyonu, paradoks orta konka, unsinat bulla, unsinat proses hipertrofisi (bulböz unsinat veya unsinat konka), orbita medial duvarda veya tabanda konjenital deformitelerdir.

Sinüzit etyolojisinde yer almayan ancak cerrahi uygulamalarda komplikasyonlardan kaçınmak için bazı noktaların bilinmesi ve değerlendirilmesi gereklidir. Lamina papyracea'da belirgin incelme ya da konjenital defekt alanları literatürde otropsi çalışmalarında %5-10 oranında bildirilmektedir. Otopsi bulgusu olarak lamina kribiformisde %8.5-14 oranında belirgin incelme alanlarından bahsedilmektedir. Sfenoid sinüs duvarlarının optik sinir ve karotid artere komşu alanlarında kemik duvarların durumuda önemlidir. Hastaların %4'ünde sfenoid sinüsün optik sinir komşuluğunda arada kemik duvar olmadığı ve %70-80 olguda da kemik kalınlığının 0.5 mm'nin altına düşlüğü vurgulanmaktadır. %48 olguda optik sinir ile arka ethmoid hücreler arasında çok ince bir kemik ayıraç mevcuttur. Otopsi olgularının %8-14'ünde karotid arter ve sfenoid sinüs arasında kemik yapı yoktur. Sfenoid sinüs içi multipl asimetrik intersfenoidal septum, arkada kemik karotid kanala yaptığı için, bu septumun rezeksiyonu sırasında karotid arter laserasyonu oluşabilir (16,26,33).

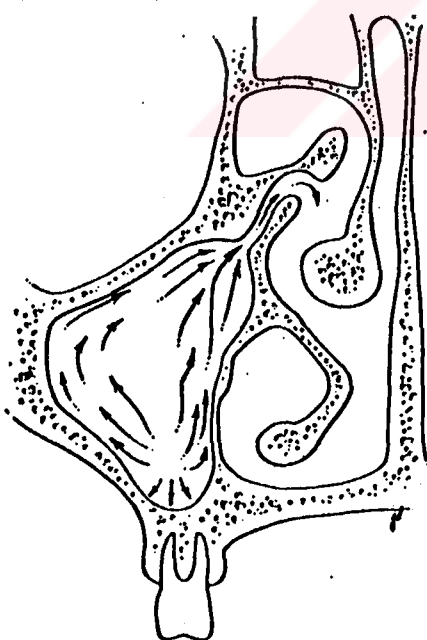
3. MUKOSİLER SİSTEM FİZYOLOJİSİ

Sinus yangışal hastalıkların patogenezinde mukosilier sistem fizyolojisi önemlidir. Endoskopik sinonasal operasyonların basit başarısını ve niçin fonksiyonel yöntemler olduğunu kavramada da fizyolojik bazı temel noktaları anımsamak gereklidir.

Paranasal sinüsler üst solunum yollarının diğer bölgeleri gibi yalancı çok katlı, silli, silindirik epitel hücreleriyle döşelidir. Epitel tabakasının altında bulunan tunica propria muköz ve seröz bez yapıları içerir. Duktuslar aracılığıyla

epitelyal yüzeye açılan bu bezlerin sekresyonları epitel yüzeyini kaplayan sıvı ve müküs karışımında film tabakası oluşturur (14,23,24,29). Glandlar ve intraepitelyal Goblet hücreleri tarafından salgılanan fazla miktarda müküs, mukoza yüzeyini nemli ve hafifçe yapışkan hale getirir (29).

Yaklaşık 2 litre kadar sulu seröz sekresyon sinonasal mukoza tarafından bir günde oluşturulur. Bunun yarısı inspire edilen havayı nemlendirmede kullanılır. Normal bir maksiller sinüs her 20-30 dk da bir müküs tabakasını yineler. Inspire edilen hava içindeki partiküller mukoza yüzeyinde tutulur. Mukozal yüzeyi kaplayan kontamine muküs tabakası silier aktivite ile nasal kaviteye ve daha sonra farinkse doğru ilettilir (11,14,23,24,29). Üst solunum yolunu mukozasının siliaları dalgalar şeklinde senkronize ritmik hareketlerle partikül depozitleri taşıyan yüzeyel mukus tabakayı farinkse doğru dakikada 1 cm hızla taşırl (30). Nasal kavite ve paranasal sinüsler içindeki sillili epitel ve mukus bariyer, mukosilier sistem olarak adlandırılan savunma mekanizmasını oluştururlar (14,23,35).



Şekil 8: Maksiller sinüste mukosilier aktivite (35)

Mukus bariyerin hareketinin her bir sinusun doğal ostiumuna doğru olduğunu bilmek önemlidir. Maksiller sinus içindeki mukosilier hareket tabandan orjin alır ve lateral duvarlar boyunca işinsal bir şekilde sinusun medial duvarının posteriosuperior bölümünde lokalize doğal ostiuma doğrudur (35). Maksiller sinüs içindeki mukosilier hareketin yönü şekil 8'de şematize edilmiştir.

Mukosilier sistem inspire edilen partiküllerden 3-5 μm 'den büyük olanların %80'ini, 2 μm 'den büyüklerin %60'ını tutar. Onları mast hücreleri, PMN lökositler, eozinofiller, lizozim, IgG ve interferon etkilerine maruz bırakır (14,23).

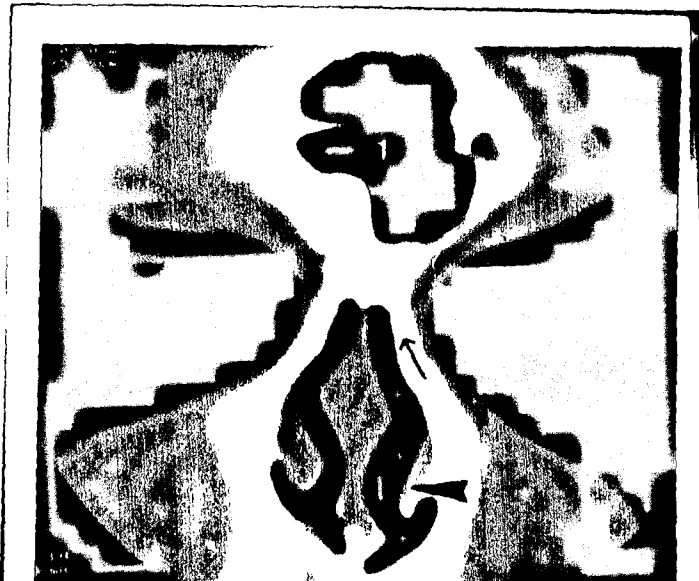
Her bir sinüsün doğal ostiumuna yönelen ve orda sonlanan spesifik silier aktivite paterni vardır. Başka bir lokalizasyonda iatrojenik ostium oluşturulması silier hareket mukus tabakayı doğal ostiuma doğru taşıyacağından etkisizdir. Kronik veya kronik rekürren sinüzitisde mukosilier sistem fonksiyonlarında yetmezlik vardır (24,28,35). Kronik obstrüksiyon için ideal konumda olduklarıdan bu yetmezlik en çok anterior ethmoid hücreleri etkiler. Inspire edilen partiküllerin büyük kısmı orta ve alt konkanın ön uçlarında ve orta meatusun ön bölümlerinde tutulduğu ya da depolandığı için bu depozitlerin etkisi en fazla anterior ethmoid hücreler üzerinde olacaktır (16).

Paranasal sinüslerin normal fizyolojisinde 3 faktör önemlidir; ostiumların açıklığı, silier aygıtın fonksiyonu, sekresyonların kalitesi (28). Paranasal sinüslerde sekresyon birikmesi; ostiumların tıkanmasına, silier fonksiyon yetersizliğine, aşırı üretime veya sekresyonların viskositesindeki değişikliklere bağlı olabilir (28).

4. NORMAL BT ANATOMİ

Bundan önceki bölümlerde normal anatomi yapısı ve varyasyonları geniş bir şekilde açıklanmaya çalışılan ostiomeatal kompleks ve komşuluğundaki anatomi yapılarının diagnostik değerlendirilmesi en iyi koronal planda BT ile olasıdır(33). Bu bölümde olgu örneklerimizden anteriordan posteriora normal koronal BT anatomi görüntülerle konunun daha iyi anlaşılmasına ve patolojik değişikliklerin belirlenebilmesi amaçlanmıştır.

Resim 9: Frontal sinüs ön duvardan geçen kesit.
1= frontal sinüs, ok=nasal kemik,
ok ucu=alt konka ön ucu.



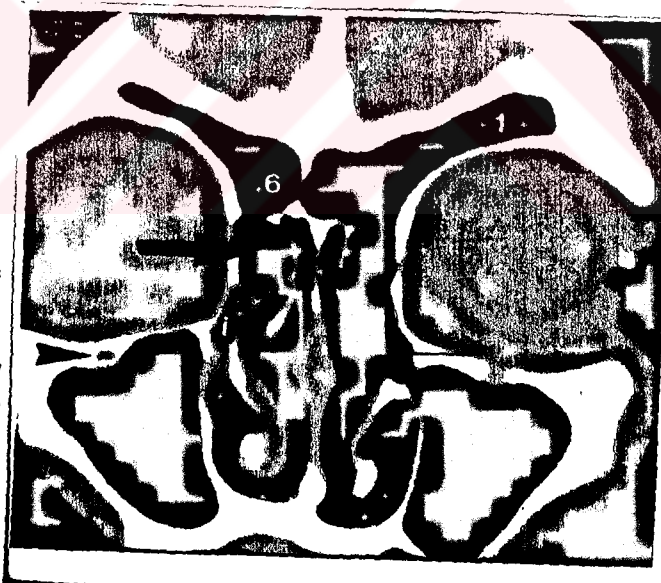
Resim 10: 3 mm posteriordan geçen kesitte frontal sinüsleri bölen septa asimetrik. Agger nasi hücreleri ilk kez görüntü planına giriyor. 1=frontal sinüs, 2=bulla frontalis, 3=agger nasi, 4=lakrimal fossa, 5=maksiller sinüs, ok ucu=lakrimal kemik.



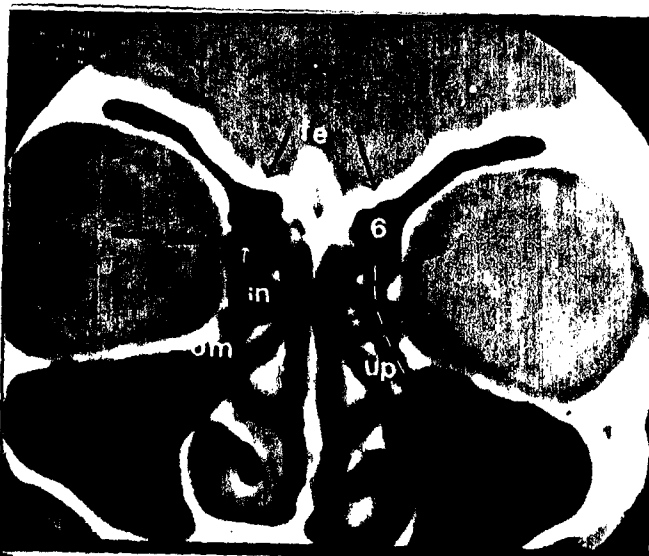
Resim 11: Bir önceki kesitin 3 mm arkasından frontal reses ön bölümünden geçen kesit. Frontal sinüsten frontal resese geçiş zonu (oklar) 1= frontal sinüs, 2=nasolakrimal kanal alt meatusa açılıyor(ok ucu). 3= agger nasi, 4=alt konka, 6=frontal reses, 7=nasal septumun kıkırdak parçası.



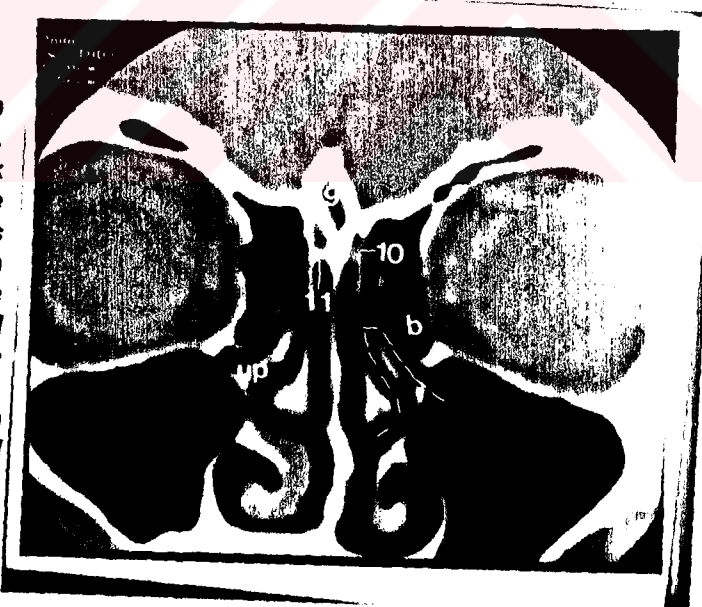
Resim 12: Frontal reses(6), infundibuler hava hücresi (kalın ok) ve infraorbital sinir (ok ucu) görülüyor. Unsınat proses ön üst ucu hemen nasolakrimal kanalının arkasından ve agger nasinin arka alt bölümünden başlıyor. Ethmoid infundibulumun en ön üst başlangıç yeri (i) ile gösterilmiştir.



Resim 13: Ethmoid infundibulumun (in) 1/2 orta bölümünden geçen kesitte solda frontal resesin (6) ethmoid infundibulum'a dren olduğu (kesikli çizgi) izleniyor. Solda unsinat proses (up) ethmoid çatıya uzanıyor ve orta konka üst ucunun yapışma yeri ile birleşiyor (Tip II). Ayrıca unsinat bulla (++) varyasyonu mevcut. Sağda unsinat proses üst ucu ise (beyaz ok) laterale kıvrılarak lamina papyraceae'ya (siyah kalın ok) yapışıyor ve terminal reses oluşturuyor. Frontal kemiğin fovea ethmoidalisleri ince siyah okla işaretlenmiştir.



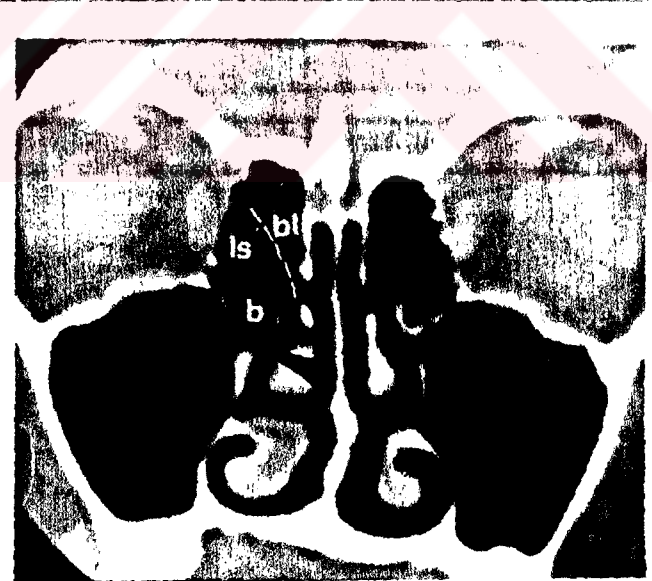
Resim 14: Ethmoid infundibulum 1/3 posteriorundan geçen kesit. Unsinat proses (up) boyu giderek azalıyor. Solda maksiller sinüsün ve ethmoid infundibulumun hiatus semilunaris aracılığıyla orta meatusa drenajı kesikli çizgilerle gösterilmiştir. Lateral vertikal laminanın fovea ethmoidalis'e göre çok daha ince olduğu farkediliyor. 9=krista galli, 10= lamina cribiformis'in lateral vertikal laminası, 11=horizontal lamina, b=bulla ethmoidalis.



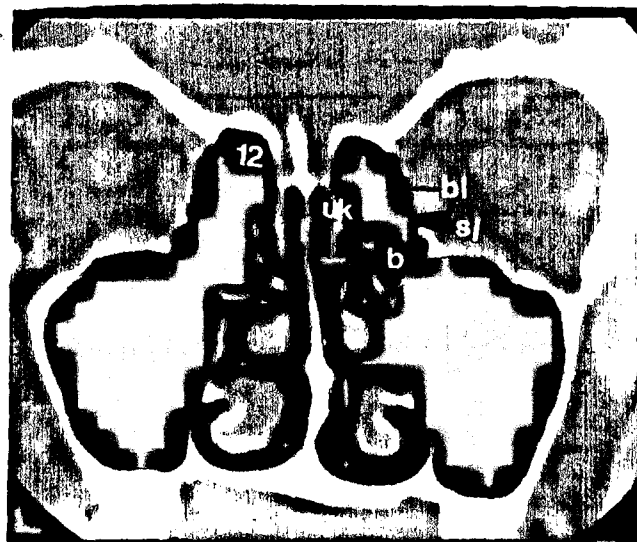
*Resim 15: Resim 14'ün 3 mm arkasından geçen kesitte lateral sinüsün (ls), hiatus semilunaris superior yoluyla (kesikli çizgi), turbinete sinüse (**) drenajı gösteriliyor. be=bulla ethmoidalis, lp=lamina perpendicularis, v=vomer, ok=orta konka, ak=alt konka, f=infundibulum.*



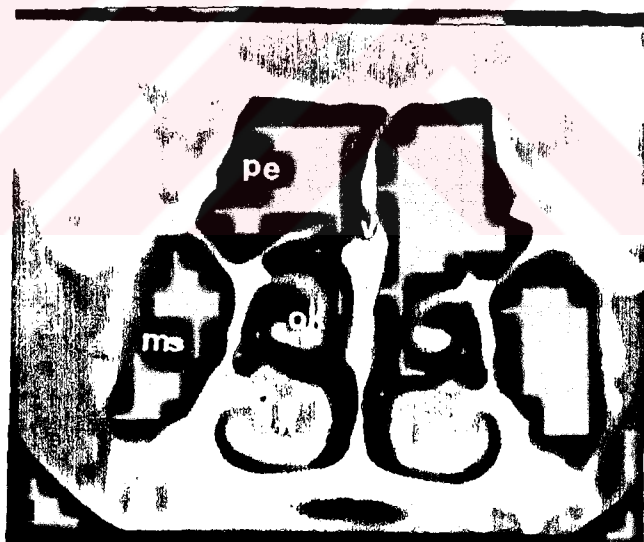
Resim 16: Ethmoid infundibulumun posteriorundan geçen kesit. Orta konka 1/3 orta parçasının basal lamellası=bl, kesikli çizgi, b=ethmoid bulla, ok=ucu=arka fontanel bölgesinde aksesuar ostium, ls=lateral sinüs.



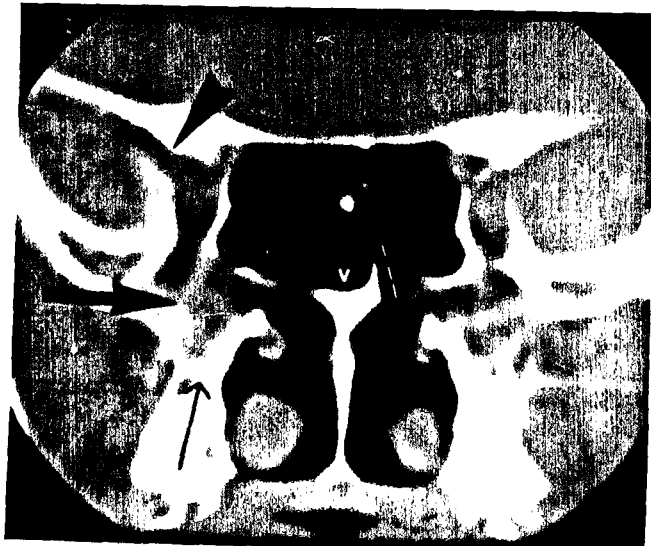
Resim 17: Orta konkanın basal lamellasi ile (bl) üst konka arası, üst meatustur (12). sl=lateral sinüs, b=bulla ethmoidalis.



Resim 18: Üst konka arka ucunun hemen distalinden geçen kesitte posterior ethmoid hücre tek, septasyonsuz olarak izlenmekte (pe). Orta konka 1/3 arka bölümünde (ok) basal lamella maksiller sinüs medial duvarına yapışıyor. ak=alt konka, ms=maksiller sinüs v=vomer.



Resim 19: Sfenoid sinüs ön duvardan geçen kesitte vomer pnömotize (v), superior orbital fissür ok ucu, inferior orbital fissür kalın ok, pterigoid kök ince ok ile işaretlenmiştir. Kesikli çizgi stenoethmoid resesi gösteriyor.



Resim 20: Sfenoid sinüsten geçen koronal kesitte multipl intersfenoidal septa vardır. Anterior klinoid çıkışını (1) pnömotizedir. Her iki optik sinirin her hangi bir kemik kanal içinde olmaksızın sfenoid sinüs içinden (büyük ok ucu) geçiş ve sağda asimetrik septanın (kalın ok) optik sinirin hemen komşuluğuna yaptığı izleniyor. Kesikli oblik çizginin altında pterigoid kök (2) pnömotize olmuş. Küçük ok ucu=vidian sinir kanalı, ince ok=foramen rotundum.



5. ENDOSkopİK SİNÜS CERRAHİSİ PRENSİPLERİ

Anterior rinoskopi ve posterior nasofaringoskopi orta meatus ve ostiomeatal kompleks değerlendirmesinde sınırlı bilgiler verir. Paranasal sinüs endoskopisi tüm nasal kavitenin, orta meatusun, ostiomeatal kompleksin ve sfenoethmoid resesin yeterli ve direkt görüntülenmesini olanaklı kılmıştır. Fossa canina yoluyla maksiller sinoskopide mümkün değildir. Endoskopik

enstrümanlarıyla pür diagnostik işlemler yapılabileceği gibi obstrükte sinüs ostiumlarını temizleyici fonksiyonel terapötik girişimlerde başarıyla uygulanır. Detaylı bilgisayarlı tomografi değerlendirmeleri için endoskopik teknikler hakkında temel bilgileri kısaca özetlemek gereklidir(12).

Diagnostik endoskopide 4 mm çaplı, 0° ve 30° lik ya da 2.7 mm'lik 30 ve 70°lik soğuk ışık kaynaklı endoskoplar kullanılır. Endoskop nasal kavite tabanına yerleştirilir ve arkaya doğru gidilirken septum nasi, alt meatus, alt konka ve nasofarenks değerlendirilir. Daha sonra inferior konkanın üzerinden, orta konka arka ucuna kadar ilettilen endoskopun yavaş yavaş geri çekilmesi sırasında ethmoid bulla, hiatus semilunaris, ostiomeatal kompleks gibi lateral nasal duvar yapıları değerlendirilir. Kültür ve biyopsi örnekleri alınabilir veya endikasyon varsa lokal medikal terapötik işlemler yapılabilir(12).

Günümüzde iki fonksiyonel endoskopik cerrahi yaklaşım kullanılır. Her ikiside sinus aerasyonu ve normal drenaj işlevi sağlanırsa hastalıklı mukozanın normale döneceği varsayımlına dayanmaktadır. Wigand yöntemi geniş kapsamlı ve daha az uygulananıdır. Posterior yaklaşım olarak da bilinir. Sfenoidotomiyle başlanır ve öne frontal resese doğru ilerlenir. Burun içine ipsilateral sinüslerin cerrahi drenajını gerçekleştirmek için bu yöntemde total sfenoethmoidektomi ve orta meatus antrostomisi gerçekleştirilir. Messerklinger tekniği ise unsinektomi ile ethmoid bulla ön duvarına varılmasıyla başlar ve anterior yaklaşım olarak adlandırılır. Hastalığın lokalizasyonuna bağlı olarak ethmoid bulladan öne frontal resese doğru veya arkaya posterior ethmoidlere ve sfenoid sinüse doğru ilerlenir. Bu yöntem gerçek fonksiyonel yaklaşım olarak kabul edilir(12).

Fonksiyonel endoskopik cerrahının konvansiyonel cerrahi tekniklere üstünlükleri şu şekilde özetlenebilir. Eksternal yaklaşılarda olduğu gibi deri ya da mukoza insizyonu olmayışı, maksiller sinüs ön duvarda kemik eksizyonu gerektirmemesi, lateral nasal duvar yapılarının visüalizasyonu, hastalıklı

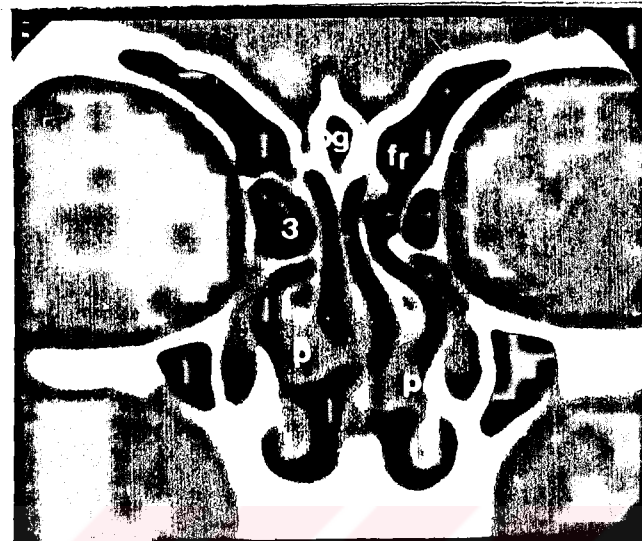
alanların önceden belirlenerek, mukozanın büyük oranda korunmasıyla normal mukosilier drenajın sağlanması, dirençli sinüzite neden olan malformasyonların ve obstrüksiyon oluşturan kitlelerin daha yeterli tanısı(12).

Endoskopik sinüs cerrahisi endikasyonlarına hastanın öyküsü ve yakınmaları, endoskopik diagnostik muayene ve BT bulgularının birlikte değerlendirmesiyle karar verilir. Bir malignitenin varlığı dışlanmışsa, hastaların asemptomatik olmaları durumunda herhangi bir cerrahi işlem planlanmaz. Mikotik enfeksiyonlar ve mukoseller yanısıra, er ya da geç problem yaratacağı düşünülen diğer durumlar bu kural dışındadır ve semptomların olmaması halinde bile cerrahi endikasyon konulabilir(26).

Paranasal sinüslerde veya kafa kaidesinde geniş invaziv yangısal süreçler bu cerrahi yaklaşım için uygun değildir. Gene paranasal sinüslerde lokalize geniş tabanlı osteomlar ve özellikle frontal reses bölgesinde kalın postinflamatuvar sklerotik stenozlarda teknigin limitasyonlarındanandır. Menengitis, subperiostal veya epidural abse, kavernöz sinüs trombozu gibi intrakranial komplikasyonlar, osteitis veya osteomyelitis varlığında endoskopik cerrahi kontrendikedir. Bunlara ciddi intraorbital komplikasyonlarda eklenebilir. Bazı mukosel olguları da cerrahi için uygun olmayabilir. Kısacısı endikasyon ve kontrendikasyonlar çok çeşitlidir. Olgular tek tek klinikleri tartışılırak cerrahi gerekliliği ve yapılacak cerrahi girişim planı konusunda değerlendirilir(26,27).

Komplikasyonlar hafif ya da ciddi olabilir. Hafif komplikasyonlar klinik olarak değerlendirilir. Ciddi olanların postoperatif radyografik kontrolu gereklidir. Başlıca komplikasyonlar körlük, oküler hareket bozukluğu, orbital hematoma, beyin-omurilik sıvı sızıntısı, ön kranial fossa nörovasküler yaralanma, beyin absesi, pnömosefali, karotikokavernöz fistül ve ölümdür(16).

Anterior yaklaşımıyla uygulanan fonksiyonel endoskopik sinüs cerrahisinde operasyon öncesi ve sonrası görüntülerin karşılaştırılması amacıyla resim 21-24'te örnek olgu gösterilmiştir.



Resim 21: 4 yıldır kronik sinüzit yakınmaları olan olguda her iki orta konkadan köken alan, orta meatus girişini kapatan ve nasal septumla mukozal temas alanları oluşturan poliplerin varlığı izleniyor. p=polip, bg=bulla galli, fr=frontal reses, 3=infundibuler hava hücresi



Resim 22: Aynı olgunun her iki orta konkasının inferior bulböz parçasında konka bullosa (*) mevcut. Nasal septumda deviasyon var. u=unsinat proses, p=polip, 1=frontal reses, 2=infraorbital sinirin maksiller sinüs önde duvarda oluşturduğu depresyon.

Resim 23: Bilateral unsinektomi, infundibulotomi ve konka bullosa rezeksyonu. İnfundibuler hava hücreleri açılmamış. Resim 21 ile kıyaslayınız.



Resim 24: Bilateral ethmoid bulla rezeksyonu ve sağda maksiller ostiumu genişletici operasyon, orta konka 1/2 ön bölümunün gerek polipleri gerekse konka bullosayı ortadan kaldırmak için rezeksyonu. Resim 22 ile kıyaslayınız.



GEREÇ ve YÖNTEM

Kasım 1992-Mayıs 1994 tarihleri arasında Ege Üniversitesi Tıp Fakültesi Radyodiagnostik Anabilim Dalında sinüzit ya da benzeri şikayetleri olan 120 semptomlu hastanın nasal kavite ve paranasal sinüsleri koronal plan BT ile incelendi.

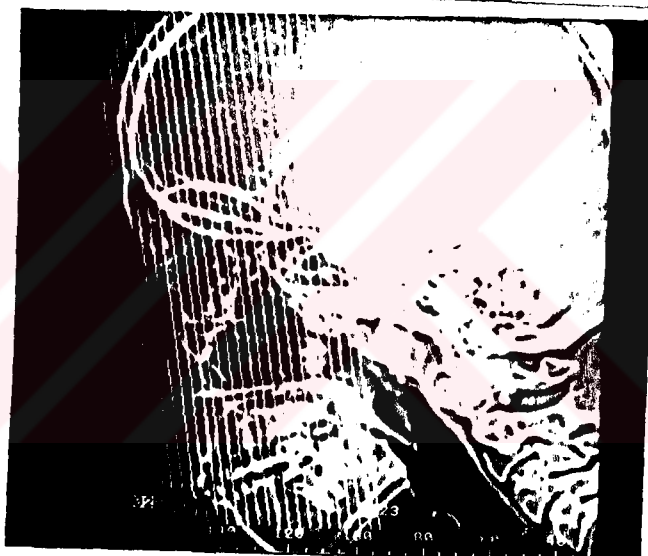
Genel olarak olguların yakınmaları burun tıkanıklığı, postnasal akıntı, baş ağrısı, yüzde dolgunluk hissi ve burun kökünde ağrıydı. Uzun süreli ve tekrarlayan yakınmaları olan olgular, bilinen tıbbi tedaviye dirençli kronik sinüzitler ve klasik cerrahi yöntemlerden yarar görmemiş olgular çalışma grubunun esasını oluşturdu. Ege Üniversitesi Kulak Burun Boğaz Anabilim Dalına başvuran fonksiyonel endoskopik sinüs cerrahisi uygulanması tasarlanan olgular endikasyon ve preoperatif değerlendirme amacıyla, koronal BT istemiyle kliniğimize gönderildi. Detaylı anatomik değerlendirmeyi olanaksız kıyan massif nasal polipozis olguları çalışma kapsamına alınmadı.

Çalışmada General Electric CT-Sytec 3000 bilgisayarlı tomografi cihazı kullanıldı. 120 KV, 80 mA, 3 sn'lik kesit süresi, 3 mm kesit kalınlığı ve 3 mm interval parametreleri kullanılarak kesitler alındı. Minimal ve dirençli mukozal hastalık alanlarını ve anatomiyi detaylı değerlendirebilmek için incelemeler hastaların semptomsuz ya da minimal semptomlu olduğu dönemlerde ve gerekli görülen olgularda bir hafta 10 günlük uygun medikal tedavi (antibiyoterapi ya da kortikoterapi) periyodu sonrasında gerçekleştirildi. Fossa kanina yoluyla gerçekleştirilen endoskopik maksiller sinoskopi yoluyla tedavi edilen rastlantısal submüköz retansiyon kistleri dışında 60 hasta endoskopik cerrahi tekniklerle opere edildi. 25 hasta operasyonu reddetti. Bir olgu da bir hafta içinde gözlem ve konservatif yaklaşımla düzelen periorbital ekimoz dışında önemli bir komplikasyon oluşmadı.

Tetkik öncesi hastaların varsa çıkartılabilir dental protezleri çıkartıldı. Dolgu materyaline bağlı artefaktlar görüntülerin değerlendirmesini engellememi. Başın hiperekstansiyonu sağlamak için çene altına destek kondu. İnceleme sırasında kontrast madde kullanılmadı.

Prone pozisyonda ve baş hiperekstansiyonda, koronal planda lateral kafa skenogramı alınarak(Resim 25), frontal sinüs ön duvarından sfenoid sinüs bitimine kadar sert damağa dik kesitler elde olundu. Yumuşak doku algoritmiyle alınan görüntüler +2500 WW/+150 WL pencere değerleriyle filme aktarıldı. Gerek görülen olgularda kemik algoritmide kullanıldı. FOV değeri standard olarak 10 cm. seçildi.

Resim 25: Lateral skenogram ve kesit alanı



Hastaların yaşı ve cinsiyeti kaydedildi. Görüntülerin detaylı analizi yapılırken özel dikkat sinüzit etyolojisinde bildirilen kemik anatomik varyasyonların, endoskopik cerrahide komplikasyon riski taşıyan anatomik yapıların ve mukoza anomaliliklerinin saptanmasına gösterildi.

Som'un kriterleri dikkate alınarak BT ile görülebilir hale gelmiş sinüs mukozal yapıları, mukozal kalınlaşma ya da hastalık yönünden anormal olarak kabul edildi (25).

Bazı radyoloji departmanları incelemeye başlamadan 15 dk önce reversibl mukoza ödemini azaltmak için nasal sprey dekonjestan ve antihistaminik preparatlar vermektedirler(2). Bu çalışmada akut enfeksiyon dönemi dışında incelemenin yeterli olduğu düşünüülerek böyle bir uygulama yapılmamıştır.

Hastanın hazırlanması	Kafadaki çıkartılabilir metal cisimlerin uzaklaştırılması
Hastanın pozisyonu	Prone pozisyonda, baş hiperekstansiyonda
Gantry açısı	Sert damağa dik
Kesit alanı	Glabelladan dorsum sellaya kadar
FOV	10 cm
Kesit kalınlığı	3 mm
Interval	3 mm
Kesit süresi	3 sn
kV	120
mAs	240
Pencere genişliği	+2500
Pencere seviyesi	+150
Kontrast madde	verilmemi

OLGULAR ve BULGULAR

Toplam 120 hastanın nasal kavite ve paranasal sinüsleri koronal plan BT ile incelendi. Sağ ve sol taraf ayrı ayrı değerlendirildi. Hastaların 67'si kadın (%55.83), 53'ü erkek (%44.16), yaş ortalaması 36.7'dir.

Hastalarda saptanan kemik anatomi varyasyonları ve sıklığı tablo 1'de gösterilmiştir. Agger nasi hücreleri en sık görülen anatomi varyasyonudur. Olgularımızın 96'sında (%80) saptandı. Agger nasi hücrelerinin sağda %30.20'sinde, solda %27.08'inde mukozal hastalık görüldü. Nasal septumda deviasyon bulunan 56 hastadan 33 tanesinde herhangi bir seviyede nasal septumla komşu anatomi yapıları arasında mukozal düzeyde sineşi varlığı izlendi(Resim 26).

Resim 26: Nasal septumda spur formasyonu (kalın ok) ve sol orta konka ile mukozal temas. Sol arka ethmoidde (ince ok) ve maksiller sinüsde mukozal hastalık (ok ucu).



Konka büllosalar tiplerine göre değerlendirildiğinde sağda 32, sol da 27 hastada vertikal parçanın lameller tip pnömotizasyonu izlenirken, bulböz tip sağda 9, solda 13 olguda görülmüştür. İkisinin aynı anda varoluğu gerçek tip konka büllosa (Resim 27) sağda 18 (%15), solda 10 (%8.33) hastada saptanmıştır(Tablo 2). Sağda 59 konka büllosanın %11.86'sının, solda 50 konka büllosanın %8'inin mukozal hastalıktan etkilenmiş olduğu görüldü.

Tablo 1: Sinüzit etyolojisinde yer aldığı düşünülen anatomik varyasyonlar

Anatomik Varyasyonlar	Hasta Sayısı (n=120)	
	Sağ	Sol
Agger nasi hücreleri	96 (%80)	96 (%80)
Haller hücreleri	28 (%23.33)	32 (%26.66)
Konka büllosa	59 (%49.16)	50 (%41.66)
Orta konkanın paradoksik eğriligi	10 (%8.33)	10 (%8.33)
Unsinat bülla	8 (%6.66)	11 (%9.16)
Büyük ethmoid bülla	34 (%28.33)	34 (%28.33)
Aksesuar maksiller ostium	14 (%11.66)	19 (%15.83)
Septum deviasyonu	56 (%49.55)	

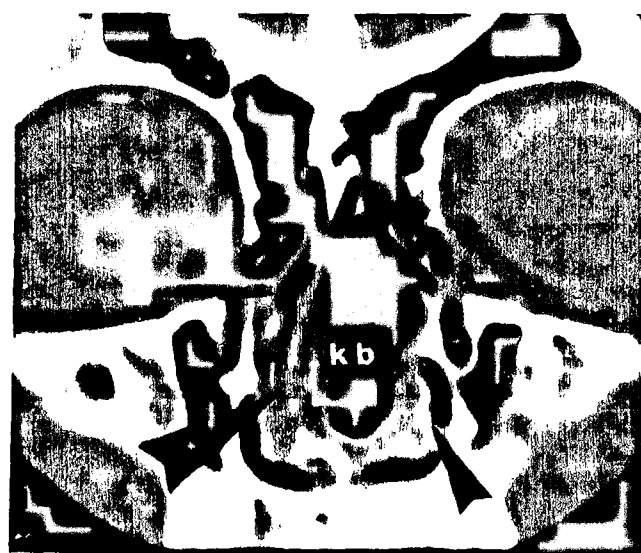
Tablo 2: Konka büllosanın lokalizasyonuna göre sınıflaması

Lokalizasyon	Sağ		Sol	
	n	%	n	%
Vertikal lamella pnömotizasyonu	32	26.66	27	22.50
Bülböz parçanın pnömotizasyonu	9	7.50	13	10.83
Gerçek tip konka bülboza	18	15	10	8.33
Toplam	59	49.16	50	41.66

Orta konkanın paradoksal eğriligi sağda 10 olguda (%8.33), sol da 10 olguda (%8.33) mevcuttu.

Haller hücreleri sağda 28 (%23.33), solda 32 (%26.66) olguda saptandı ve bunların sağda %53.57'sinin, solda %34.37'sinin yangışal olaydan etkilendiği görüldü (Resim 28,29).

Resim 27: Sol nasal kavitede deformasyon oluşturan gerçek dev konka bullosa (kb). Nasal septumda sağa belirgin deviasyon ve mukozal temas alanlarında polipler. Her iki orta meatus giriş kapalı. Siyah ok= sağ orta konka, küçük ok ucu= alt konka, büyük ok ucu= nasal septum.



Resim 28: Bilateral maksiller ostium komşuluğunda, infundibulum lateralinde, orbita inferomedialine uzanan sağdaki mukozal hastalıktan daha şiddetli etkilenmiş enfekte haller hücreleri(ok ucu). Her iki ethmoid infundibulumda da mukozal hastalık var.



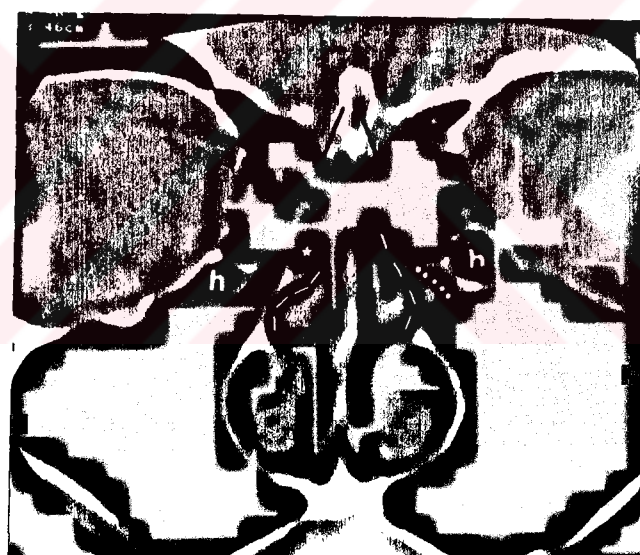
Unsinat bulla anatomik varyasyonu en ender görülen olaydı (Resim 30).

Toplam 20 hastada bu varyasyon saptanırken, sağ ve solda yalnızca 1 hastada unsinat bullanın yanmış hastalığa sekonder yumuşak doku dansitesi ile dolu olduğu görüldü.

Resim 29: Uzun süreli künt baş ağrısı ve burun tıkanıklığı yakınması olan olguda solda konka bullosa (kb) ve septum deviasyonu mevcut. Sağda infundibulum superolateralden haller hücresi (h) ile belirgin daraltılmıştır (kesikli çizgi). Karşı infundibulum ile kıyaslayınız (büyük ok ucu). Sol maksiller sinüs ostiumu komşuluğunda, sağ maksiller sinüste ve sağ nasal kavitede hastalıklı mukoza alanları izlemekte (küçük ok uçları). Solda supraorbital pnömotizasyon (büyük ok).



Resim 30: Yillardır burun tıkanıklığı olan olguda, sağ unsinat bulla (+) ve bilateral haller hücreleri (h). Sağda daha belirgin orta meatuslar (kesikli çizgi) ve sol infundibulum dar (..), oklar=semilunar hiatus.



Unsinat proses en ön-üst bölümünün uzanım ve yapışma yeri değerlendirilerek unsinat proses yapışma varyasyonlarının sıklığı hesaplandı (Tablo 3). En sık görülen varyasyon tip 1 olup en az tip 3 görülmüştür. Sağda 21, solda 22 olguda hem anterior ethmoid bölgenin ve orta meatusun şiddetli mukozal hastalıkla oblitere olması hem de sayıca fazla ve sağlıklı

değerlendirmeyi engelleyen frontal reses hava hücreleri ve infundibüler hücreler nedeniyle bu yönde değerlendirme yapılamadı. Tip 1 unsinat proseslerin sağda %24.77'sinde(28 hastada), solda %22.12'sinde (25 hastada) ethmoid infundibulum dar ya da atelektatik olup, 2 olguda unsinat proses agenesisi vardı(Resim 31,32).

Tablo 3: Unsinat proses ön-üst ucunun yapışma varyasyonları (120 olguda)

Unsinat proses	Sağ		Sol	
	n	%	n	%
tip 1	60	50	66	55
tip 2	27	22.50	26	21.66
tip 3	12	10	6	15
Değerlendirilemedi	21	17.50	22	18.33

Resim 31: Bilateral maksiller sinüsler az gelişmiş ve sol maksiller sinüsün total opasifikasiyonu. Sağda unsinat proses üst ucu orbita medial duvarla dar açılı füzyon yapıyor (büyük ok ucu). Bu durum unsinektomi sırasında orbita penetrasyonuna yol açabilir. Solda unsinat proses izlenmiyor (agenesi). fr=frontal reses, ok=frontal reses hava hücresi, küçük ok ucu=krista galli pnömotizasyonu. Sol lamellar konka bullosa.



Orta meatus üzerine daraltıcı etkisi olacak kadar büyük ethmoid bulla sağ ve solda eşit oranda %28.33 (34 olgu) saptandı(Resim 35).

Ön ya da arka fontanel bölgesinde lokalize aksesuar ostium görülmeye sıklığı hasta grubumuzda sağda %11.66 (14 olgu), solda %15.83'dü (19 olgu).

Resim 32: Sağda tip 2 (ok ucu) solda tip 1 (ok) unsınat proses yapışma varyasyonu. fr=frontal reses, İ=infundibulum. İki taraftan infundibulumun farklı konfigürasyonlarını ve frontal resesin drenajını kıyaslayınız.



Sinüzit etyolojisinde yeri olmayan ancak cerrahi öncesi bilinmesi gereken kemik anomalileri değerlendirildiğinde en sık superior orbital rim'in pnömotizasyonu saptandı (Tablo 4). Supraorbital pnömotizasyon saptanan olguların %87'si anterior ethmoidal bölgeden özellikle de lateral sinüsden aere olmaktadır. Posterior ethmoidlerden supraorbital pnömotizasyon enderdi.

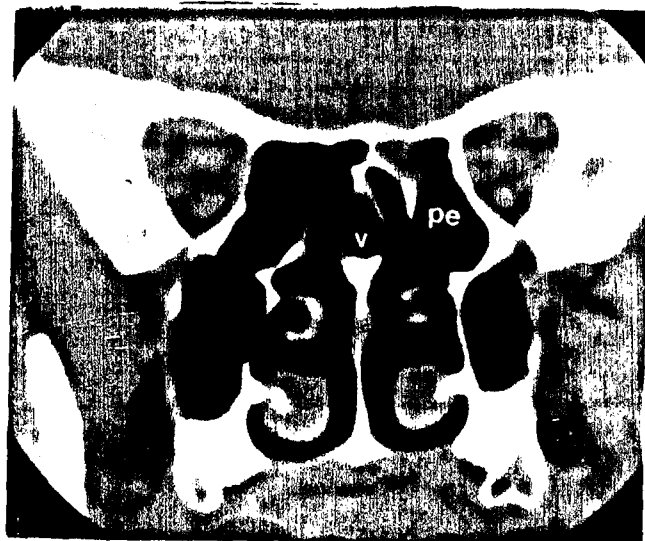
Bulla frontalis görülmeye sıklığı 31 olguda izlenirken, nasal septumun arkası üst bölümünün (vomer) hastaların 44'ünde pnömotize olduğu, bunun da değişmez şekilde sfenoid sinüsden gerçekleştiği izlendi(Resim 33).

Krista gallinin sadece 9 hastada (%7.50) ve frontal resesden pnömotize olduğu saptandı (Resim 31).

Anterior klinoid çıkışlarının sağda 14 olguda (%11.66) solda 17 olguda (%14.16) sfenoid sinüsden pnömotize olduğu görüldü. Bu tip pnömotizasyon sfenoid sinüs içinde derin resesler oluşturmaktır ve sfenoid sinüsü içine alan endoskopik girişimlerde optik sinir travma olasılığını artırmaktadır(Resim 34).

Tek asimetrik lokalizasyonda veya multipl intersfenoidal septumların varlığı 76 olguda (%63.33) görüldü.

Resim 33: Nasal septum posterosuperior bölümlü (v) sfenoid sinüsünden pnömotize olmuştur. Sol arka ethmoid hücrede mukozal hastalık mevcuttur.



Pterygoid çıkışının pnömotizasyonu sağda %27.50 (33 olgu), solda %31.66 (38 olgu) oranlarında saptandı.

Düşük lokalizasyonda kribiform lamina ve/veya asimetrik olfaktör fossa gibi ethmoid çatayı ilgilendiren varyasyon sıklığı %34.16 (41 olgu) idi(Resim 35).

Tablo 4: Rastlantısal kemik anomalileri ve sıklığı (n=120)

Anomaliler	Hasta Sayısı	
	Sağda	Solda
Süperior orbital rim pnömotizasyonu	40 %33.33	38 %31.66
Ant. klinoid çıkıştı pnömotizasyonu	14 %11.66	17 %14.16
Pterigoid kök pnömotizasyonu	33 %27.50	38 %21.66
Bulla galli	9 (%7.50)	
Bulla frontalis	31 (%25.83)	
Asimetrik olfaktör fossa ve/veya düşük kribiform plate	41 (%34.16)	
Tek asimetrik ve/veya multipl intersfenoidal septum	76 (%63.33)	
Vomer pnömotizasyonu	44 (%36.66)	

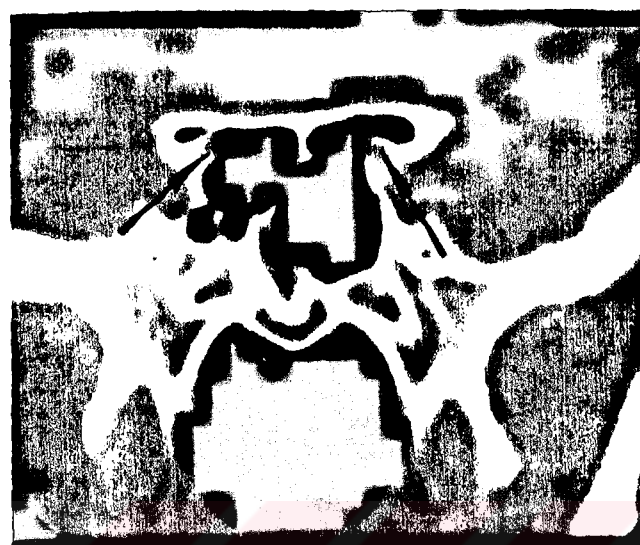
Mukozal hastalığın major sinüslerde ve ethmoid labirentin değişik bölgelerinde lokalizasyonları değerlendirildiğinde maksiller sinüs tutuluşu ilk sırada yer almaktadır (Tablo 5).

Tablo 5: Mukozal hastalığın ethmoid labirent ve majör sinüslerde görülme sıklığı

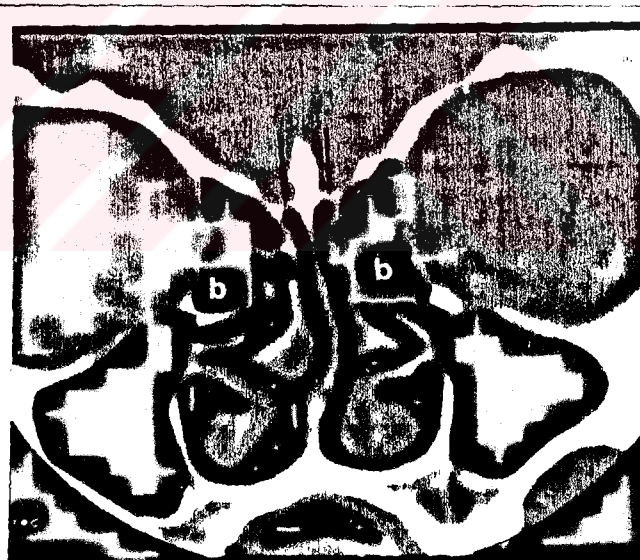
Lokalizasyon	Olgu Sayısı	
	Sağ	Sol
Orta Meatus	48 %40	45 %37.50
Ethmoid infundibulum	57 %47.50	55 %45.83
Frontal reses	44 %36.66	48 %40
Maksiller sinüs	78 %65	71 %59.16
Frontal Sinüs	37 %30.83	40 %33.33
Sfenoid Sinüs	30 %25	28 %23.33
Arka Ethmoidler	40 %33.33	36 %30
Lateral Sinüs	33 %27.50	32 %26.66
Bulla Ethmoidalis	46 %38.33	44 %36.66
Haller Hücresi	15 %12.50	11 %9.16
Agger nasi	29 %24.16	26 %21.66
Konka bullosa	7 %5.83	4 %3.33
Unsınat bulla	1 %0.83	1 %0.83
Bulla galli	2 %1.66	
Bulla frontalis	8 %6.66	

Ostiomeatal kompleksde darlık ve drenaj bozukluğu yarattığı varsayılarak, kronik sinüzit etyolojisinde gösterilen anatomik varyasyonlardan en az bir ya da daha fazlasının saptandığı hasta sayısı 95 (%79.16), (Agger nasi hariç), herhangi bir lokalizasyonda mukozal anormallik saptanan olgu

sayısı 101 (%84) di. Minimal mukozal kalınlaşma, sinüs opasifikasyonu, polip formasyonu, mukozal sinea ve submüköz retansiyon kistleri mukozal anormallik olarak kabul edilerek sayılmayıldı.



Resim 34: Optik sinirlerin sfenoid sinüs içine bombeleşmesi (ok işareteli).



Resim 35: Sağda kribriiform plate (ok) daha düşük lokalizasyonda ve her iki ethmoid bulla (b) normalde büyük.

120 hastanın 88'inde (%73.33) mukozal patoloji frontal reses, lateral sinüs, ethmoid infundibulum, ethmoid bulla, agger nasi, Haller hücresi gibi orta meatus hariç yukarıda sayılan anterior ethmoid bölgenin en az bir ya da daha çok çeşitli lokalizasyonlarını etkilemektedir.

19 hasta da BT kriterleriyle mukozal hastalık saptanmadı. Bunlarında 15'inde bir ya da daha fazla anatomič varyasyon (minimal septum deviasyonu ve lameller konka büllosa hariç) vardı. Tüm hastaların %12.50'sinde anatomič varyasyon olmasına rağmen mukozal anormallik yoktu.

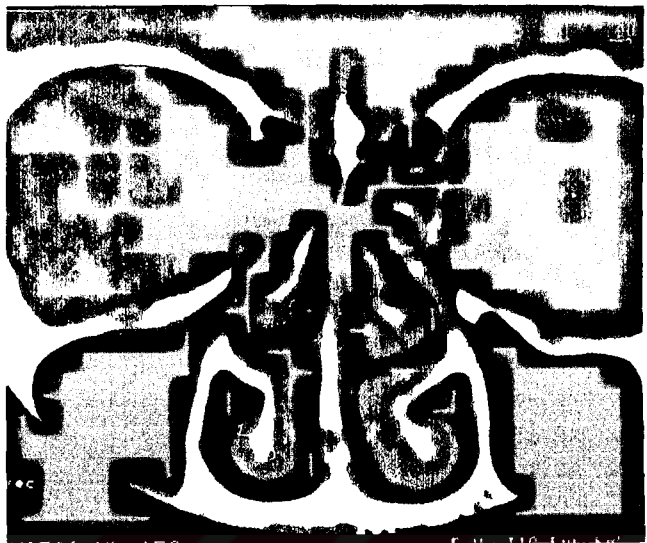
Tüm hastalarda ön ethmoid bölgeden izole, sadece üst mea, sfenoethmoid reses, arka ethmoid hücreler ve sfenoid sinüslerden bir ya da birkaçını ilgilendiren mukoza patoloji görülmeye oranı %5 (6 olgu)di. Bu olguların 3'ünde anterior ethmoid alanda mukozal patoloji oluşturmamış anatomič varyasyon vardı.

Ön ethmoidal bölgede veya ethmoid infundibulumda mukozal patoloji varlığında aynı tarafta frontal veya maksiller sinüslerden en az birinde mukozal anormallik varlığı (submüköz retansiyon kisti hariç) sağ da 98 olguda (%81.66), solda 101 olguda (%84.16) saptandı(Resim 36). Frontal, maksiller ya da ön ethmoidlerin eşlik etmediği izole ethmoid infundibulum hastalığı sadece 4 olguda (%3.33) görüldü(Resim 37).

Resim 36: Kronik sağ frontal sinüzitli olguda sağ frontal resesi oblitere eden mukozal hastalık (ok) ve sağ konka büllosa (kb), septum ile sağ orta konka arasında mukozal temas olmuş (ok ucu). fr=frontal reses.



Resim 37: Solda izole infundibuler mukoza hastalığı (ok ucu). Solda unsinat proses sağa göre daha kalın olarak izlenmektedir (ödem veya hiperplastik mukoza).



TARTIŞMA

Ostiomeatal bölgedeki kronik değişikliklerin nedenlerini bilinen patofizyolojik mekanizmlarla açıklamak hala tam olarak mümkün değildir. Etyolojik faktörler çok çeşitliidir. Etkenler aeroallerjenler, mikroorganizmalar, toksik inhalanlar gibi ekzojen, ya da immunolojik bozukluklarda olduğu gibi endojen faktörleri kapsar (32). Kronik hiperplastik rhinosinüzit paranasal sinüslerin ve nasal kavitenin ağır yangısal hastalığını ifade eder. Bu antitenin patolojik spektrumu nasal kavite ve sinüs mukozasının polipoid, fibrokistik ve papiller değişikliklerini kapsar. Submukozal ödem ve stromal infiltrasyonla başlayan mukozal anormallik ve silier disfonksiyon mukozal prolapsus gelişimine neden olarak poliplerin oluşumuna öncülük eder. Bu siklus sinüs ostiumlarının ve orifislerinin daralmasına ve obstrüksiyona neden olur (13,14,16).

Nasal kavite ve paranasal sinüs, özellikle de ethmoid sinüsler ve lateral nasal duvar anatomisinin iyi bilinmesi görüntülerin değerlendirilmesinde olduğu kadar, başarılı fonksiyonel endoskopik sinüs cerrahisi için kritik derecede önemlidir (13).

Proctor ve daha sonraları Messerklinger kronik veya rekürren bakteriyel sinüzitisin en yaygın nedeninin uygunsuz ya da yetersiz tedavi edilmiş anterior ethmoidal sinüs hastalığı olduğunu ilk olarak göstermişlerdir (26,27). Bu saptama otolaringologlar tarafından eskiden beri bilinmesine rağmen major sinüs hastalıklarında ethmoid sinüslerin öneminin sıkılıkla gözardı edilmesinin nedeni belkide standart radyogramlarda ethmoid sinüslerin kötü vizüalizasyonudur(35). Direkt radyografiler nasal kavite ve paranasal sinüs hastalıklarında ucuz, hızlı ve akut yanığı döneminde ilk uygulanması gereken noninvaziv yöntemlerdir. Bununla birlikte standart paranasal sinüs radyografileri ile maksiller ve frontal sinüslerdeki hastalık kolaylıkla gösterilirken, sinüzit patogenezinde kilit bölgeler olan ön ethmoidler, frontal

reses, orta meatus süperpozisyonlar nedeniyle uygun şekilde değerlendirilemez (13,35).

Ethmoid sinüslerin öneminin anlaşılması ile fonksiyonel endoskopik sinüs cerrahisi giderek daha yaygın bir teknik haline geldiğinden koronal BT, direkt grafilerin yerini alan primer görüntüleme yöntemi olmuştur. Paranasal sinüs ve nasal kavite anatomisinin mükemmel demonstrasyonu, cerrahın endoskopik görüşüne yakın görüntüler elde edilmesi, hem cerrahi planlamada, hem de komplikasyonlardan korunmada diğer görüntüleme yöntemlerine kıyasla koronal plan BT'nin belirgin üstünlüklerini oluşturmaktadır(33). Yumuşak doku patolojilerini görüntülemede üstün olan manyetik rezonans inceleme mukozal anormalliği saptamada BT'den daha duyarlı olabilirse de unsinat proses, basal lamella, lamina papyracea, kribiform lamina gibi endoskopik sinüs cerrahisinde önemli olan ince kemik yapılarının detaylı anatomik değerlendirilmesi için uygun değildir. Manyetik rezonans görüntüleme yangısal hastalığın intrakraniyal komplikasyonlarının varlığında tamamlayıcı olarak önemli katkılar sağlar (13,33).

Preoperatif diagnostik nasal endoskopi ile orta meatusu ilgilendiren bazı varyasyonlar saptanabilir, orta meatus lokali minimal inflamasyon alanları, granülasyon dokuları, polipoid mukoza formasyonları görülebilir. Mukozal hastalığın ayırcı tanısına izin veren gözlemler yanısıra tanıya ve tedaviye yardımcı işlemler gerçekleştirilebilir. Nasal endoskopinin pek çok avantajı yanısıra ethmoid labirent içinde enfiamasyonun uzanım alanlarını, ileri derecede daraltılmış orta meatusdaki hastalığı tanımadaki güçlük ve maksiller ostiumun, arka ethmoid ve sfenoid sinüs içinin değerlendirilmesindeki olanaksızlıklar sınırlılıklarıdır (35). BT görüntüleme endoskopik muayeneyle birleştirildiğinde morfolojik ve patolojik açıdan yeterli bilgi sağlar. Tanıda sistematik nasal endoskopiyi ve BT'yi birlikte kullanmak gereklidir, BT hastalığın yayılım alanlarının gösterilmesinde sağladığı üstünlükler sayesinde,

endoskopik cerrahi yöntemlerin belli bir alana odaklanması ve cerrahi morbiditenin azaltılmasına öncülük eder(13,35). Kennedy'e göre endoskop ile değerlendirilebilen alanlarda mukozal hastalığı saptamada BT uygun pencere, kesit kalınlığı ve yüksek rezolüsyona rağmen endoskopiyenin göre daha az duyarlıdır (11).

Nasal kavite ve paranasal sinüslerin endoskopik sinüs cerrahisine yönelik BT incelemesinde kullandığımız protokol Babbel tarafından da önerilmektedir (2). Komplike sinonasal yangışal hastalıkta ve paranasal sinüs neoplasmalarında intravenöz kontrast madde kullanımı gereklidir. Böyle olgularda aksiyel kesitler rutin olarak koronal incelemeye eklenmeli, standart olarak hem yumuşak doku hemde kemik pencerelerinde film elde olunmalıdır(2,33). Koronal kesitlerde mukozal hastalığın sinüs duvarlarında ekspansiyon oluşturduğu izleniyorsa ön ve arka duvarda olası erozyon alanlarını göstermek için aksiyel görüntüler alınması gerekebilir. Yine sfenoid sinüslerde yönelik endoskopik cerrahi düşünülen olgularda multipl intersfenoidal septum varlığında kemik septaların posteriorda karotis kanalıyla ilişkisini göstermek ve Onodi hücrelerinin varlığını daha iyi gösterebilmek için aksiyel BT gerekebilir(13).

Duvoisin ve ark. düşük mA (30-60 mA) tekniği ile hızlı (kesit süresi 2 sn) ve iyi kalitede imajlar elde edilebileceğini savunmaktadır. Fakat sinyal/gürültü oranında bozulma ve streaky artefaktlarına artmış duyarlılık böyle bir durumda kaçınılmazdır (8). Bu nedenle 80 mA ve 3 sn kesit zamanı ile optimum imaj kalitesi ve radyasyon dozu arasında iyi bir denge kurulmasına çalışılmıştır.

BT incelemesi potansiyel problemlerden tümüyle arındırılamamıştır. Bingham bir çalışmada basın hiperekstansiyonunun yaşlı hastalarda her zaman mümkün olmayacağı (%5), klaustrofobi (%3), ostiomeatal kompleksi obstrüke ederek değerlendirmeyi engelleyen poliposis, intrakranial veya infraorbital

hastalığı tanımadaki uygunsuz pencereler, granülasyon dokusunu inflamasyondan ayırmada yetersizlik ve frontal resesin koronal planda zayıf visüalizasyonunu BT'nin sınırlılıkları olarak bildirmektedir(5). Bu sınırlamalardan bir kısmının düzeltilebileceğine inanıyoruz. Uygun teknik parametreler kullanmak, pencere seçiminin amaca uygun olarak yapmak, prone pozisyon verilemeyen hastalara supine pozisyonda omuz altlarına destek konularak başa vücut seviyesinin altına ve arkaya doğru pozisyon vermek, ince aksiyel kesitler üzerinden rekonstrüksiyon denemek, anatomisi komplike olgularda anterior ethmoidal bölgeyi özellikle frontal resesi 1 mm gibi çok ince kesitlerle taramak ve komplike sinüzitlerde kontrast maddeler kullanmak problemlerin çözümünde yardımcı olacaktır. Bizim çalışmamızda massif sinonasal polipozis dışında önemli teknik problemle karşılaşılmamıştır.

Son yıllarda, paranasal sinüslerdeki bazı anatomi varyasyonlarının, sinüs hastalığı ve baş ağrısına neden olabileceği kabul edilmektedir (34). Ancak bu anatomi varyasyonlarının sıklığı ve klinik önemi konusunda fikir birliği yoktur. 120 hastalık geniş semptomlu çalışma grubumuzda anatomi varyasyonlarının görülmeye sıklığı araştırılmış ve elde olunan veriler kaynaklardaki bilgiler ışığında tartışılmıştır.

Agger nasi hücreleri lateral nasal duvarda orta konka önde üst yapışma yerinin hemen önünde yer alırlar. Bazı tanımlamalara göre en öndeeki ekstramural ethmoid hücre grubudur. İnfundibuler hücrelerden köken alırlar ve ethmoid infubdibuluma drene olurlar. Agger nasi hücrelerinin görülmeye sıklığı, araştırmacılarla göre farklı olup, anatomi disseksiyonlarda Messerklinger %10-15, Mosher %40, Davis %65 olarak bildirmektedir. Koronal BT çalışmalarında kronik sinüzit yakınması olan hastalarda Kennedy ve Zinreich hemen hemen tüm incelenen hasta grubunda, Bolger %98.5, Arıyürek %88.5, Bayram %90.5 sıklık değerleri vermektedir (1,3,6,35).

Çalışmamızda agger nasi hücrelerinin 120 hastalık geniş çalışma grubunda görülmeye sıklığı %80'dir. Kaynaklarda BT çalışmalarında verilen çok yüksek değerlerin, bu hücreleri bazen infubdibuler ethmoidal hava hücrelerinden koronal planda ayırmadan zor olması nedeniyle değerlendirme hatalarından kaynaklandığını düşünmektediriz. Anatomik disseksiyonlarda görülmeye sıklıklarının düşük olmasının nedeni, küçük çaplı olanlarının değerlendirilememesine bağlı olabilir. Bolger ise radyolojik bulgulara dayanan sıklık farklılıkların, bu hücrelerin 5 farklı kemikle komşu karışık anatomik ilişkilerinden kaynaklandığını savunmaktadır (6). Lakrimal kemik, maksilla frontal prosesi, frontal kemik, ethmoid kemik ve nasal kemik olmak üzere 5 farklı kemikle komşuluğun ve pnömotizasyonun farklı derecelerde bunlar içine uzanmasını, birbirine yakın ancak değişik sıklık değerlerinin nedeni olabileceğine biz de katılıyoruz. Çalışmamızda ve kaynaklarda verilen yüksek görülmeye sıklıkları nedeniyle bu hücrelerin varyasyondan çok anterior ethmoid bölgenin sabit görülen hücre grubu olarak kabul edilmesi gerektiğini düşünüyoruz. Agger nasi hücreleri frontal resese yakın anatomik komşuluk ilişkileri nedeniyle iyi gelişmiş ve büyük olduklarından frontal sinüs drenajını olumsuz etkileyebilir ve kronik frontal sinüzit patogenezinde rol oynar. Lakrimal keseye yakın komşulukları nedeniyle inflamasyonlarında epifora bulguları kolay ortaya çıkar (6). İyi gelişmiş büyük agger nasi hücreleri frontal resesi daraltabilir. Endoskopik sinüs cerrahisi açısından bunların asıl önemi, varlıklarında frontal resese girebilmek için harika anatomik belirleyiciler olmasıdır(13,14).

Radyologlar tarafından agger nasi hücrelerinin lokalizasyonu bilinmeli ve görüldüklerinde varlıkları belirtilmelidir. Ayrıca bu hücrelerin büyüklükleri ve frontal sinüslerin drenaj yolları obstrüksiyon açısından değerlendirilmelidir. Agger nasi hücrelerinin mukozal hastalığının yinleyen semptomlara neden olabileceği bilinmektedir(13). Bu yüzden agger nasi hücreleri mukozal hastalık

yönünden de değerlendirilmelidir. Çalışma grubumuzda agger nasi hücrelerinin mukozal hastalıktan etkilenme oranı 96 hastada sağda %30.20, solda %27.08 olarak bulunmuştur. Kaynaklarda agger nasi hücrelerinin mukozal hastalıktan etkilenme oranlarına dair sayısal veriye rastlanmamıştır.

Konka büllosa, orta konkanın pnömotize olmasıdır. İlk olarak 1739'da Santorini tarafından patolojik bir sürecin sonucu değil, ethmoid hava hücrelerinin gelişimsel varyasyonu olarak bildirilmiştir. Lothrop'a göre %55 orta meatusdan orjinli ön ethmoid hücrelerden, %45 üst meatustan orjinli arka ethmoid hücrelerden kaynaklanır. Frontal resesden pnömotize olguların varlığında tanımlanmıştır (6). Orta konkanın vertikal lameller parçası, inferior bulböz segmenti veya her iki parçası pnömotize olabilir. Çalışmamızda orta konkanın pnömotizasyonunun herhangi bir derecesi anamlı kabul edilerek lokalizasyonları kaydedilmiştir(Tablo 2). Vertikal lamella pnömotizasyonu diğer tiplerden daha fazlaydı ve çoğunlukla lamellar tip üst meatustan havalandırmaktaydı. Konka büllosanın herhangi bir tipi alınarak 120 hastalık çalışma grubunda görülmeye sıklığı sağda %49.16, solda %41.66 şeklindeydi. Çalışma grubumuzda septum deviasyonundan sonra en sık saptadığımız anatomič varyasyon konka büllosa'dır. Bu sonuç kronik sinüzitlerde olası neden ya da predisozan faktör olabileceğini düşündürmektedir. Ancak kaynaklarda konka büllosa görülmeye sıklığı ile ilgili farklı değerlere rastlandığı gibi konka büllosanın sinüzit riskini arttırmadığı yönünde görüşler de mevcuttur. Semptomzsuz hastalardan kontrol grubu oluşturularak yapılan çalışmalar da yüksek görülmeye sıklığı değerleri verildiği görülmüştür. Koronal plan BT ile kronik sinüzitli olgu gruplarında konka büllosanın herhangi bir tipini Zinreich hastaların %34'ünde, Bolger %53'ünde, Bayram %66.1'inde, Arıyürek %33.7'sinde saptadıklarını belirtmektedirler(1,3,6,33). Asemptomatik hastalarda konka büllosa görülmeye sıklığını Arıyürek %30.7, Bolger %50 olarak saptamıştır(1,6). Bolger gerçek tip konka büllosayı sinüzitli hasta grubunda

(%17.4), asemptomatik bireylerde (%8.4) yaklaşık iki kat fazla olduğunu belirtmektedir(6). Yousem ise çalışmasında konka büllosanın varlığının sinüzit riskini artırmadığı sonucuna varmıştır(33).

Bu çalışmada konka büllosanın kronik sinüzitlerde görülmeye sıklığı yüksek olarak bulunmuştur. Ancak, kaynaklarda normal bireylerde de yüksek oranda bu varyasyonun görülebildiği bildirilmiştir(1,6,33). Buradan yola çıkarak konka büllosa anatomičk varyasyonunun varlığından çok orta meatusu doldurarak ventilasyon ve mukosilier aktiviteyi olumsuz yönde etkileyebilecek kadar büyük olmasının, ostiomeatal bölgede mukozal temas alanları oluşturmalarının, unsinat prosesi komprese ederek ethmoid infundibulumu daraltmasının daha önemli olduğunu ve yukarıda sayılan özellikleri taşıyan konka büllosanın sinüzit etyolojisinde etkili olabileceğini düşünmekteyiz. Görüntüleme raporunda konka büllosanın varlığı sinüzite neden olmasada belirtilmeli tüm konka büllosalar kist, polip, mukosel gibi yanışsal patolojiler açısından da değerlendirilmelidir.

Haller hücreleri ilk olarak 18. yüzyılda Alber von Haller tarafından tanımlanmıştır. Stammberger ve Wolf, Haller hücrelerini büyülüklüklerine bağlı olarak özellikle hastalandıklarında kronik maksiller sinüzitin nedenleri arasında saymaktadır (26,27). Haller hücrelerinin lokalizasyonları ve tanımları arasında farklılıklar vardır. Haller bunları ethmoid kapsülden dışa doğru uzanıp, maksiller kemik içine taşan ethmoid hücreler olarak tanımlamıştır. Zinreich ve Kennedy bu hücreleri, infundibulum lateralinde, ethmoid bulun altında, orbita tabanına uzanan ethmoid hücreleri olarak bildirmiştir (11,35). Stammberger bu hücrelerin maksiller ostiuma komşu olması şartını getirmiştir (26). Çalışmamızda ethmoid bullanın inferolateralinde ethmoid infundibulumla orbita medial duvar (lamina papyracea) arasında yer alan hücreler Haller hücresi olarak değerlendirilerek bunların sinüs yakını 120 hastadaki görülmeye sıklığı sağda %23.33, solda %26.66 bulunmuştur. Bunlarında ortalama yarıya yakını yanışsal mukozal

değişiklikler göstermekteydi. Değişik kaynaklarda Haller hücrelerinin görülmeye sıklığı %10-45 arasında değişen rakamlarla ifade edilmektedir (12,26).

Unsinat bulla anatomik varyasyonu kronik sinüzitli hastalarda %0.4-2.5 oranında bildirilmektedir (6,35). Çalışma grubumuzda sağda %6, solda %9 oranında saptanırken, Bayram'ın 118 hastalık kronik sinüzit serisinde unsinat bulla saptama oranı %11.9 olarak belirtilmiştir (3). Değerlerimiz kaynaklara göre ilimli bir yükseklik gösterse de diğer anatomik varyasyonlar içinde ender görülenlerdendir (Tablo 1).

Orta konkanın paradoksik kurvaturu, orta konkanın bulböz parçasının normalde nasal septuma olan konveksitesinin, lateral nasal duvara dönük olmasıdır. Bizim çalışma grubumuzda sağda ve solda %8.33 oranında saptandı. Arıyürek 52 olguluk normal kontrol grubunda bu oranı sağda %3.8, solda %5.7 olarak vermektedir. Aynı araştırmacı 77 hastalık kronik sinüzit grubunda %9 oranında paradoksal orta konka kurvaturu görülmeye sıklığı belirtmektedir(1). Bolger tarafından asemptomatik kontrol grubunda %22.3, kronik sinüzit grubunda %27.1 gibi daha yüksek değerler verilmiştir (6).

Ethmoid bulla aşırı derecede havalandırma gösterebilmekte orta meatus boşluğunu doldurarak sinüs enfeksiyonuna neden olmadığından bile kontakt baş ağrısı oluşturabilmektedir. Belirgin büyümeye hiatus semilunarisi posterosuperiordan daraltarak ethmoid infundibulum drenajını olumsuz etkileyebilir. Ethmoid bullanın konveks ön yüzeyi poliplerin sık orjin aldığı lokalizasyonlardan biridir(12,26). Bu nedenlerle yineleyen sinüzitlerde olası neden olabileceği gibi kendisi de hastalanıp kistler, polipler veya püy ile dolu olabilir (12). Ancak büyük ethmoid bullanın tanımlanmasında objektif kriterler mevcut değildir. Geniş çalışma grubumuzdan edindiğimiz deneyimle olgularımızın %28.33'ünde büyük ethmoid bulla saptadık. Ethmoid bulla içinde mukozal hastalık saptanma oranı sağda %38.33, solda %36.66 şeklindedir. Arıyürek asemptomatik hastalarda büyük ethmoid bulla sıklığı %17.3 olarak,

sinüzitli olgularda ise %20.7 olarak belirtmektedir(1). Sonuçlarımız arasındaki oransal farklılığın değerlendirmede tanımlanmış objektif kriterler olmayacağına bağlı olduğu düşünülmüştür. Ayrıca Arıyürek'in kronik sinüzit ve kontrol grubu arasında anlamlı farklılık olmadığı anlaşılmaktadır. Diğer kaynaklarda ise büyük ethmoid bülla görülme sıklığına ilişkin sayısal verilere rastlanmamıştır.

120 hastalık geniş çalışma grubumuzda hastaların %56'sında nasal septum deviasyonu saptanması bu varyasyonun kronik yineleyen sinüzitlerde önemli predispozan faktör olabileceğini düşündürmüştür. Görüntüler değerlendirilirken nasal septum dikkatle incelenmeli spur ya da krest formasyonlarının varlığı araştırılmalı, nasal septumla komşu anatomik yapılar arasında mukozal sineşiler belirtilmelidir. İleri derecedeki deviasyonlar orta konkada semilunar hiatusa doğru yer değişikliğine ve ethmoid infundibulumda drenaj bozukluğuna yol açabilir(26). Varsa septal perforasyon alanları da not edilmelidir.

Tüm olgularımız içinde ostiomeatal komplekste darlık ve drenaj bozukluğu yarattığı varsayılan anatomik varyasyonlardan en az bir ya da daha fazlasının birlikte görüldüğü hasta sayısı agger nasi hücreleri hariç tutulduğunda 95'tir(%79.16). Bu saptama anatomik varyasyonları birarada bulunduklarında sinüzit riskini artırabileceğini düşündürmektedir. Ancak, çalışmamızda sinüzit benzeri şikayeti olan, bilgisayarlı tomografi ile mukozal hastalık saptanmayan 19 olgunun 15'inde bir ya da daha fazla anatomik varyasyon saptanmıştır. Sağlıklı ya da asemptomatik populasyonda birden fazla anatomik varyasyonun birarada görülme sıklığına dair daha geniş çalışma gruplarından elde edilen veriler gereklidir.

Sonuç olarak kronik ya da yineleyen yanışsal sinonasal hastalıklarda kemik anatomik varyasyonların görülme sıklığı farklılıklar gösterebilmektedir. Bu varyasyonların sağlıklı kişilerde görülebileceği bilinmektedir. Bu nedenle varyasyonların tekrarlayan sinüzite neden olmadaki etkileri komşu yapılar ile

ilişkileri göz önüne alınarak, her hasta için ayrı ayrı özel dikkatle araştırılmalıdır. Endoskopik sinüs cerrahisi sırasında komplikasyonlara neden olabilecek ethmoid çatı asimetrisi, multipl intersfenoidal septa, sfenoid sinüs içinde derin resesler oluşturan anterior klinoid ve pterigoid çıkıştı pnömotizasyonları, superior orbital rim pnömotizasyonu gibi görülmeye sıkılıkları Tablo 4'te verilen diğer varyasyonlar hakkında cerrah mutlaka preoperatif olarak bilgilendirilmelidir. Operere edilecek olgular tek tek orbita medial duvarda, lamina cribiformisde, sfenoid duvarlarda kemik incelme veya konjenital defekt alanları ve ethmoid infundibulumun konfigürasyonu açısından yeniden değerlendirilmelidir.

Çalışmamızda Som'un kriterlerine göre BT'de görünür hale gelmiş olan sinüs mukozası patolojik olarak kabul edilerek hastaların %84'ünde herhangi bir lokalizasyonda mukozal hastalık saptadık. En sık mukozal patoloji anterior ethmoid bölgedeydi (%73). Bu sonuç major sinüs hastalıklarında anterior ethmoidlerin anahtar bölge olduğu savını doğrulamaktadır. Daha sonra sırasıyla maksiller %61.66, arka ethmoidal %33.33, frontal %28.33, sfenoid %25 lokalizasyonlarda saptanmıştır. Mukozal hastalığın major sinüslerde ve ethmoid kemiğin değişik lokalizasyonlarında görülmeye sıklığı ile ilgili verilen değerler Bolger ve Bayram'ın bildirdiği değerlerle uyumlu bulunmuştur (3,6).

Anterior ethmoid hastalığı ile kronik veya tekrarlayan sinüzit arasındaki ilişki uzun zamandır bilinmektedir (11,27). Yousem'de ostiomeatal ünite opasifikasiyonunun sinüzit gelişimi ile iyi korele olduğunu bildirmektedir. 100 hastalık kronik sinüzit semptomlu hasta serisinde maksiller sinüs yangışal hastalığı varlığında aynı tarafta infundibuler hastalığın pozitif prediktif değerini %79 olarak saptamıştır(33). Bolger ise anterior ethmoidin değişik bölgelerinde veya ethmoid infundibulumda mukozal anomalilik saptadığı hastaların %80'inden fazlasında aynı tarafta maksiller veya frontal sinüs hastalığı bulduğunu bildirmektedir(6). Çalışma grubumuzda ostiomeatal komplekste

mukozal patoloji varlığında, aynı tarafta maksiller veya frontal sinüslerde mukozal hastalık görülmeye oranlarımız (sağ %81.66, sol %84.16) bu iki araştırmacının sonuçları ile uyumludur. Bu değerler Proctor ve Messerklinger'in kronik veya yineleyen bakteriyel sinüzitiste ön ethmoidlerin erken tutulmuş yerleri olduğu, uygunsuz ya da yetersiz tedavi ile bu alanda persistan hale geçen enfeksiyonun major sinüsleri etkilediği görüşünü de desteklemektedir(21,22). Major sinüs hastalığının eşlik etmediği ethmoid infundibulumda sınırlı mukozal patolojinin sık olmadığı belirtilmektedir(11,33,35). Bizim hasta grubumuzda da düşük oranda (%3.33) ethmoid infundibulumda sınırlı mukozal hastalık saptadık. Bu olgularda aynı tarafta maksiller sinüsde mukozal değişiklik saptanmamış olması maksiller sinüs ostiumunun açık oluşuna veya tam olmayan obstrüksiyona bağlanmıştır. Ön ethmoidlerde mukozal hastalığın eşlik etmediği üst meatus, sfenoethmoid reses, arka ethmoid hücreler veya sfenoid sinüslerden bir ya da birkaçını ilgilendiren mukozal patoloji görülmeye oranı %5'tir. Bu oran arka ethmoidlerin ve sfenoid sinüslerin ön ethmoid hastalığı olmaksızın çok nadir olarak yangısal patolojilerden etkilendiğini göstermektedir. Tüm olgularda anterior ethmoid hastalığı (%73), arka ethmoidal (%33.33) ve sfenoidal hastalıktan (%25) daha fazla saptamış olmamız, enfeksiyonun önden arkaya doğru yayıldığını ve basal lamellanın enfeksiyonun arka ethmoidlere yayılışını kısmen yavaşlatan bir bariyer oluşturduğunu doğrulamaktadır.

Kronik sinüs hastalığı yakınmaları nedeniyle endoskopik incelemesi yapılarak koronal BT incelemesi için radyoloğa gönderilen hastalarda paranasal sinüslerin kemik anatomik yapısı dikkatle incelenmeli, anatomik varyasyonlar araştırılmalı özellikle birden fazla anatomik varyasyonu olanlarda ostiomeatal kompleks ve ön ethmoidal bölge mukozal hastalık varlığı açısından dikkatle yorumlanmalıdır. Mukozal hastalık saptanmasa bile anatomik varyasyonlar, hastaların birtakım yakınmalarını izah edebileceğinden varlıklarını görüntüleme raporunda belirtilmelidir. Mukozal hastalık görünümleri klinik

bulgular ve endoskopik bakı eşliğinde her hasta için tek tek değerlendirilmeli ve mukozal hastalığın lokalizasyonları, ostiumların açıklığı, anatomik varyasyonlar hakkında yeterli preoperatif bilgiler edinilmelidir.

Endoskopik sinüs cerrahisi sonrası yakınmaların devam etmesi halinde hasta tekrar BT ile değerlendirilebilirse de, operasyon sonrası geniş kaviteler oluşturduğu için endoskopik bakı herhangi bir zorluk olmaksızın mukozayı direkt olarak değerlendirebilir. Ayrıca cerrahi girişim sırasında ortaya çıkabilecek ciddi komplikasyonlarda da BT incelemesi yardımcı olabilmektedir.

SONUÇ

Çalışmamızdan elde edilen sonuç, sinüs yakınması olanlar da saptadığımız varyasyon sıklıklarının kaynaklarda normal bireyler için bildirilen değerlerden anlamlı yükseklik göstermemesi nedeniyle, bunların tekrarlayan sinüzitlerin direkt nedeni olmayıp ancak predispozan faktörler arasında sayılabilceğidir. Anatomik varyasyonlar içinde görülmeye sıklığı yüksek oranda saptanan septum deviasyonu hasta grubumuzda sinüzit riskini artttırdığını düşünmektedir. Kanımız varyasyonların varlığından çok drenaj yollarını engelleyebilecek boyutlarda olmasının daha önemli olduğunu düşünür. Bu nedenle koranal BT'ler yorumlanırken varyasyonların lokalizasyonları bilinmeli ve her hasta obstrüksiyon yönünden değerlendirilmelidir. Küçük olduklarında bile varlıklarını belirtilmelidir.

Komplikasyonların önlenmesi radyolog cerrah iş birliği, preoperatif yeterli endoskopik ve radyolojik değerlendirme ve cerrahi teknik deneyimle mümkündür.

Paranasal sinüslerin kompleks kemik anatomi detayını, komşuluklarını, mukozal patolojilerini uygun teknikle çok iyi ortaya koyan koranal sinonasal BT'nin fonksiyonel endoskopik sinüs cerrahisine her yönyle rehber olmak üzere rutin uygulanması gereken, diğer görüntüleme yöntemlerinden üstün, değerli bir görüntüleme yöntemi olduğunu söyleyebiliriz.

KAYNAKLAR

1. Arıyürek OM, Önerci M, Eryılmaz M ve ark. Paranasal sinüslerin bilgisayarlı tomografisi: normal anatomi ve varyasyonlar. Radyoloji ve Tıbbi Görüntüleme Dergisi 1993; 3: 52-57
2. Babbel R, Harnsberger HR, Nelson B, et al. Optimization of techniques in screening CT of the sinuses. AJR 1991; 157: 1093-1098
3. Bayram MM, Koç Z, Kanlıkama M, ve ark. Kronik sinüzit olgularında paranasal sinüs kemik anatomik varyasyonları ve mukozal anormalliklerin BT ile incelenmesi. Türk Radyoloji Dergisi 1993; 29: (2) 84-90
4. Becker SP. Anatomy for endoscopic sinus surgery. Otolaryngol Clin North Am 1989; 22: 677-682
5. Bingham B, Shankar L, Hawke M. Pitfalls in computed tomography of the paranasal sinuses. J Otolaryngol 1991; 20: 414-418
6. Bolger WE, Butzin CA, Parsons DS. Paranasal sinus bony anatomic variations and mucosal abnormalities. CT analysis for endoscopic surgery. Laryngoscope 1991; 101: 56-64
7. Chow JM, Mafee MF. Radiologic assessment preoperative to endoscopic sinus surgery. Otolaryngol Clin North Am 1989; 22:691-701
8. Duvoisin B, Landry M, Chapuis L, et al. Low dose CT and inflammatory disease of the paranasal sinuses. Neuroradiology 1991; 33: 403-406
9. Friedman WH, Katsantonis GP. The role of standard technique in modern sinus surgery. Otolaryngol Clin North Am 1989; 22:759-777
10. Havas TE, Motbey JA, Gullane PJ. Prevalance of incidental abnormalities on computed tomographic scans of the paranasal sinuses. Arch Otolaryngol Head Neck Surg. 1988; 114: 856-861

11. Kennedy DW, Zinreich J, Rosenbaum AE, Johns ME. Functional endoscopic sinus surgery: theory and diagnostic evaluation. *Arch Otolaryngol Head Neck Surg* 1985; 111: 576-582
12. Laine FJ, Smoker WRK. The ostiomeatal unit and endoscopic surgery: anatomy, variations and imaging findings in inflammatory diseases. *AJR* 1992; 159: 849-857
13. Mafee MF, Chow JM, Meyers R. Functional endoscopic sinus surgery: anatomy, CT screening, indications and complications. *AJR* 1993; 160: 735-744
14. Mafee MF. Endoscopic sinus surgery: role of radiologist. *AJNR* 1991; 12: 855-960
15. Mafee MF. Imaging anatomy of nasal cavity and paranasal sinuses for endoscopic sinus surgery. American College of Radiology Course Syllabus, 1991; pp:187-196
16. Mafee MF. Preoperative imaging anatomy of nasal-ethmoid complex for functional endoscopic sinus surgery: *Radiol Clin North Am* 1993; 31: 1-19
17. May M. Complex paranasal sinus anatomy simplified for the surgeon. *Operative Techniques in Otolaryngology Head and Neck Surgery* 1991; 2(4): 214-217
18. Meschan I. Diseases of the facial bones and paranasal sinuses. Roentgen Signs in Diagnostic Imaging. Second edition, Meschan I, Farrer RM. Philadelphia, WB Saunders Company, 1985; 3: 319-323
19. Messerklinger W. Endoscopy of the nose. Baltimore: Urban and Schwarzenberg, 1978

20. Messerklinger W. On the drainage of the normal frontal sinus man. *Acta Otolaryngol (Stockh)* 1967; 63: 176-181
21. Messerklinger W. Über den recessus frontalis und Seine Klinic. *Laryngorhinootologie* 1982; 61: 217-223
22. Proctor DF. Nose, paranasal sinuses and pharynx. In: Walters W, ed. Lewis-Walters practise of surgery, Vol. 4. Hogerstown, MD: Prior. 1966: 1-37
23. Rice DH. Basic surgical techniques and variations endoscopic sinus surgery. *Otolaryngol Clin North Am* 1989; 22: 713-726
24. Rice DH. Endoscopic sinus surgery: anterior approach. *Oper Techniq Otolaryngol Head Neck Surg* 1990; 1: 99-103
25. Som PM. CT of the paranasal sinuses. *Neuroradiology* 1985; 27: 189-201
26. Stammberger H, Wolf G. Headaches and sinus diseases: the endoscopic approach. *Ann Otol Rhinol Laryngol* 1988; 97: (Suppl. 134) 3-23.
27. Stammberger H. Endoscopic endonasal surgery. Concepts in treatment of recurring rhinosinusitis. Part 1. Anatomic and pathophysiologic consideration. *Otolaryngology Head and Neck Surgery* 1986; 94: 143-146
28. Wald R. Sinusitis in children. *N Engl J Med* 1992; 326: 319-323
29. Warwick R, Williams PL, eds. *Gray's Anatomy* Philadelphia: Saunders, 1973
30. Wheater RR, Burkitt HG, Daniels VG. Functional histology. New York: Churchill Livingstone, 1979: 49-63

31. Wigand ME, Steiner W, Jaumann MP. Endonasal sinus surgery with endoscopic control: From radical operation to rehabilitation of the mucosa. *Endoscopy* 1978; 10: 255-260
32. Winter B, Gross CW. Introduction and indications for functional endonasal (endoscopic) sinus surgery. *Oper Techniq Otolaryngol Head Neck Surg* 1990; 2: 92-93
33. Yousem DM. Imaging of sinonal inflammatory disease. *Radiology* 1993; 188: 303-314
34. Zemlin WR, Stople SC. The structure of the human skull. Champaign, IL: Stipes, 1967
35. Zinreich SJ, Kennedy DW, Rosenbaum AE, Gayler BW, Kumar AJ, Stammberger H. Paranasal sinuses: CT imaging requirements for endoscopic surgery. *Radiology* 1987; 163: 709-775
36. Zinreich SJ, Abidin M, Kennedy DW. Cross-sectional imaging of the nasal cavity and paranasal sinuses. *Operative Techniques in Otolaryngology Head and Neck Surgery* 1990; 1(2): 94-98
37. Zinreich SJ, Mattox DE, Kennedy DW, et al. Concha bullosa: CT evaluation. *Journal of Computer Assisted Tomography* 1988; 12: 778-784